

Chapitre 5 : Segmentation (Partie 1)

Joël Lefebvre (UQÀM)

INF600F – Traitement d'images

Automne 2024

Annonces

- TP3 en ligne bientôt
- Laboratoire vendredi (Segmentation)

Survol du cours

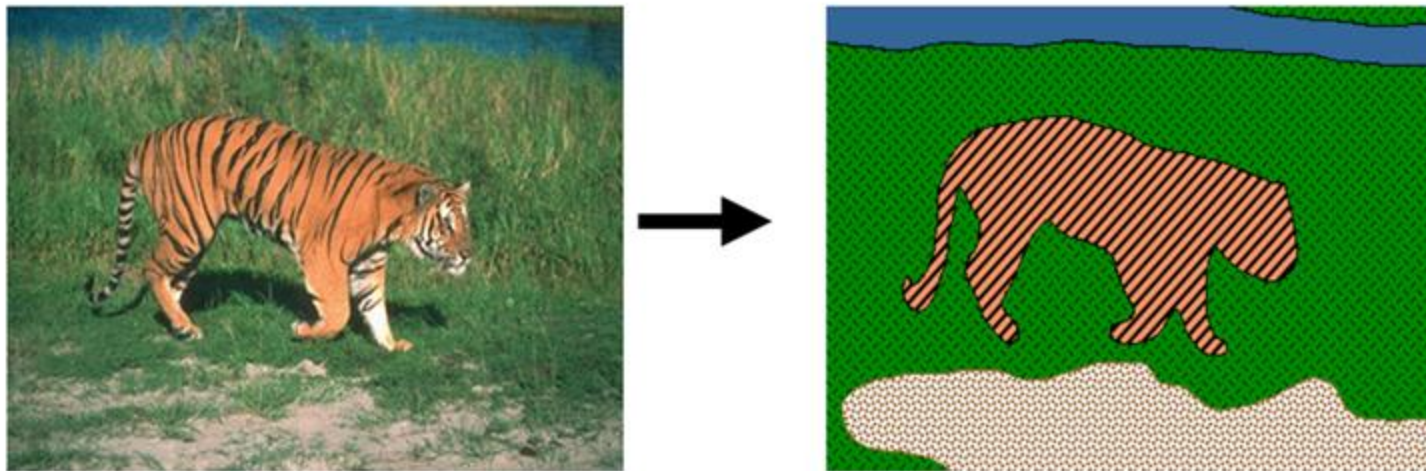
- Introduction
- Détection de contours
- Détection de courbes simples
- Segmentation de régions (prochain cours)

Références

- (Chityala, 2020) Section 4.3 : *Edge Detection using Derivatives*
- (Chityala, 2020) Section 10.3 : *Hough Transform*
- (Burger, 2009) Vol1 Ch6 : *Edges and Contours*
- (Burger, 2009) Vol2 Ch2 : *Detecting Simple Curves*
- (Gonzalez, 2018) Chapitre 10

Qu'est-ce que la segmentation ?

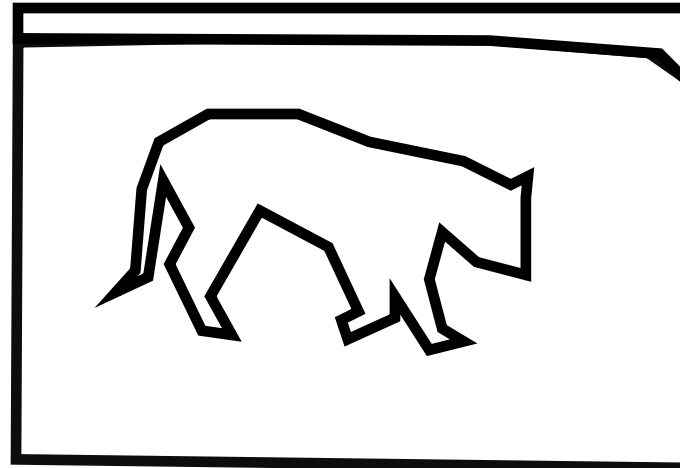
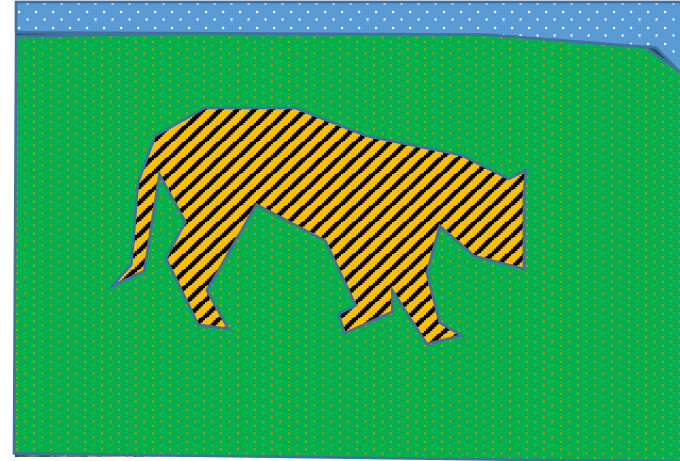
- **Regroupement** de pixels en objets
- « **Organisation perceptuelle** »
- Chaque région doit satisfaire une **propriété commune**
- Deux régions voisines ne doivent pas satisfaire la même propriété



Pourquoi regrouper les pixels ?

- **Pixels** : Propriété des détecteurs, pas de la scène
- Travailler au niveau des **objets** peut rendre le traitement plus facile
 - Les objets sont à une **profondeur** constante
 - Les objets peuvent être **reconnus**
 - Les objets peuvent se **déplacer en bloc**

Rappel : Région / Frontière



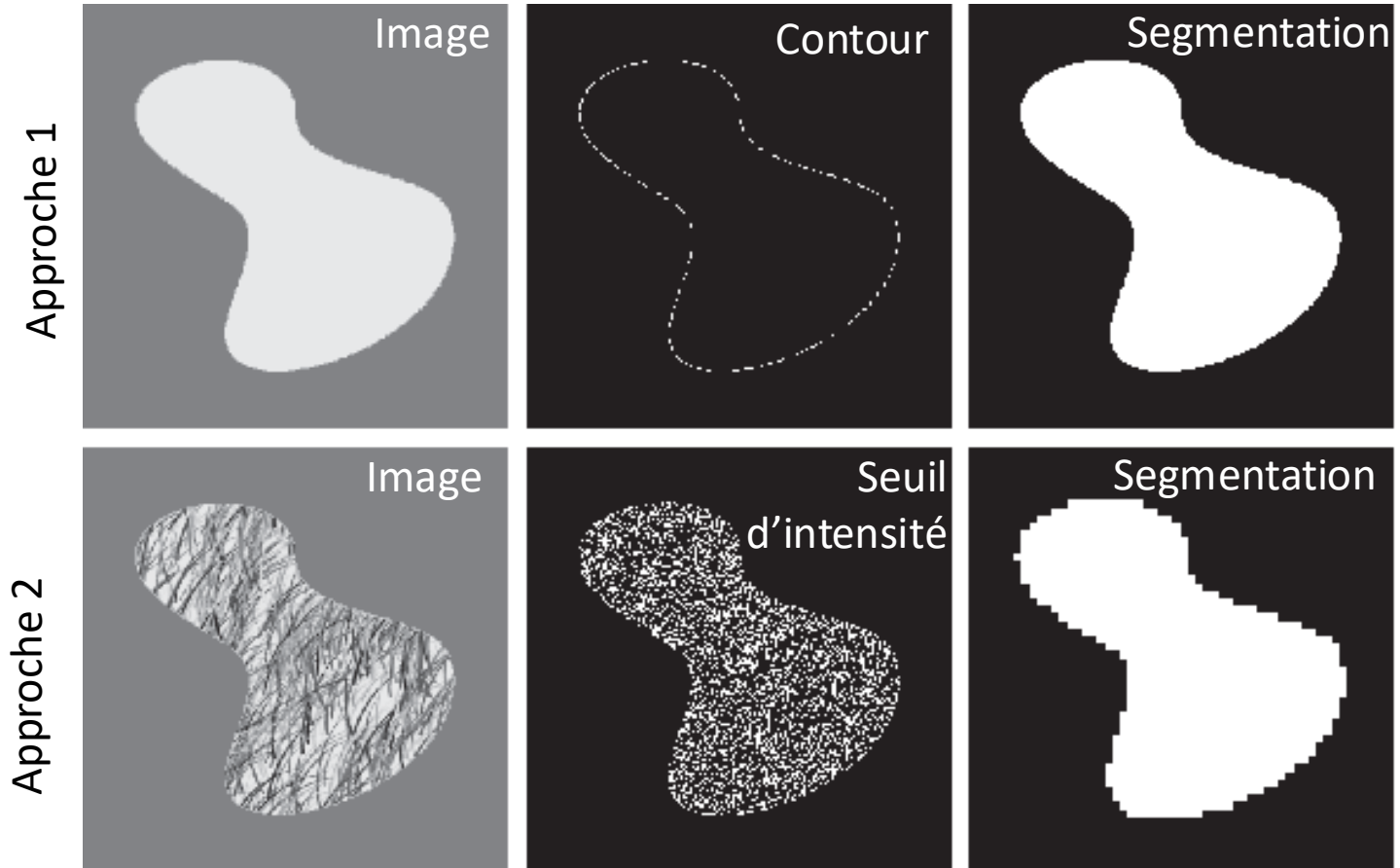
Source : N. Snavely

Dualité contour / région

- **Approche 1** : Détecter un objet à l'aide de son **contour**
- **Approche 2** : Détecter un objet à l'aide de l'apparence de sa **région**

Formulations équivalentes ?

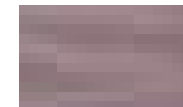
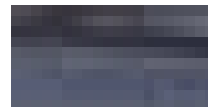
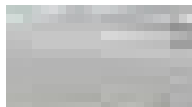
- En théorie : oui
- En pratique : non



(Gonzalez, Woods, 4e)

Pourquoi utiliser les contours?

- Résilience aux **changements** de couleur / illumination
- Utile pour la **reconnaissance** d'images
- Utile pour la **correspondance** de sous-régions (***patch***)

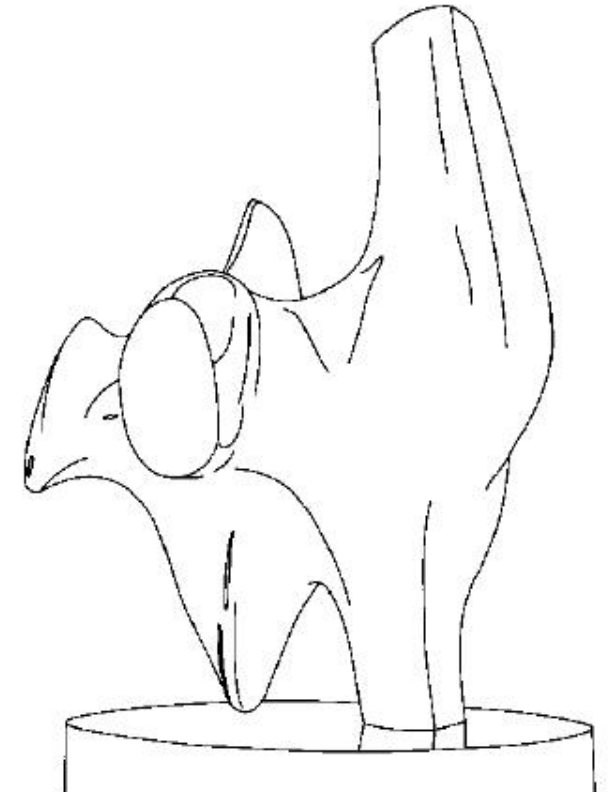
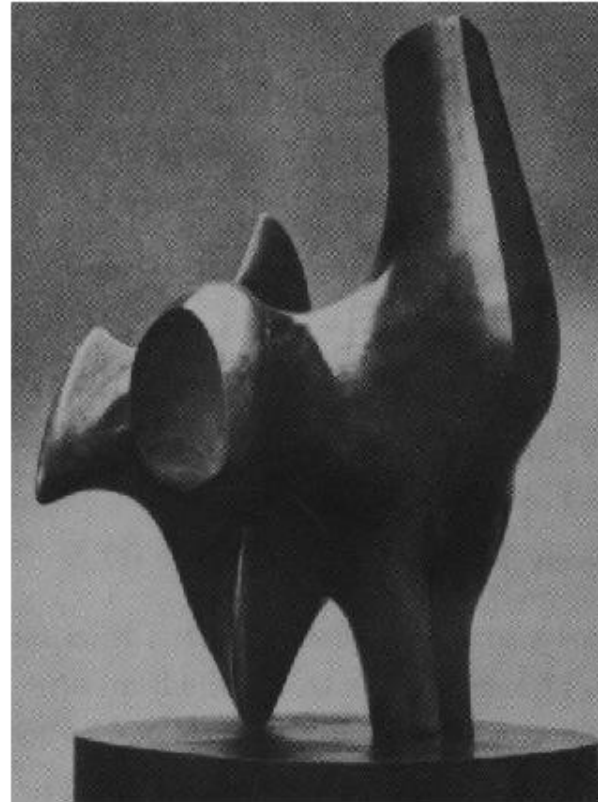


Source : N. Snavely

Argument psychophysique

Pourquoi les contours ?

- La **vision humaine** est très sensible aux contours
- Conversion d'une image 2D en un ensemble de courbes
- Extraction des **éléments saillants** de la scène, représentation **compacte**

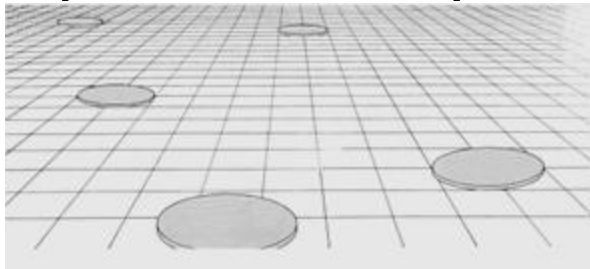


Source : N. Snavely

Argument de vision par ordinateur

Pourquoi les contours ?

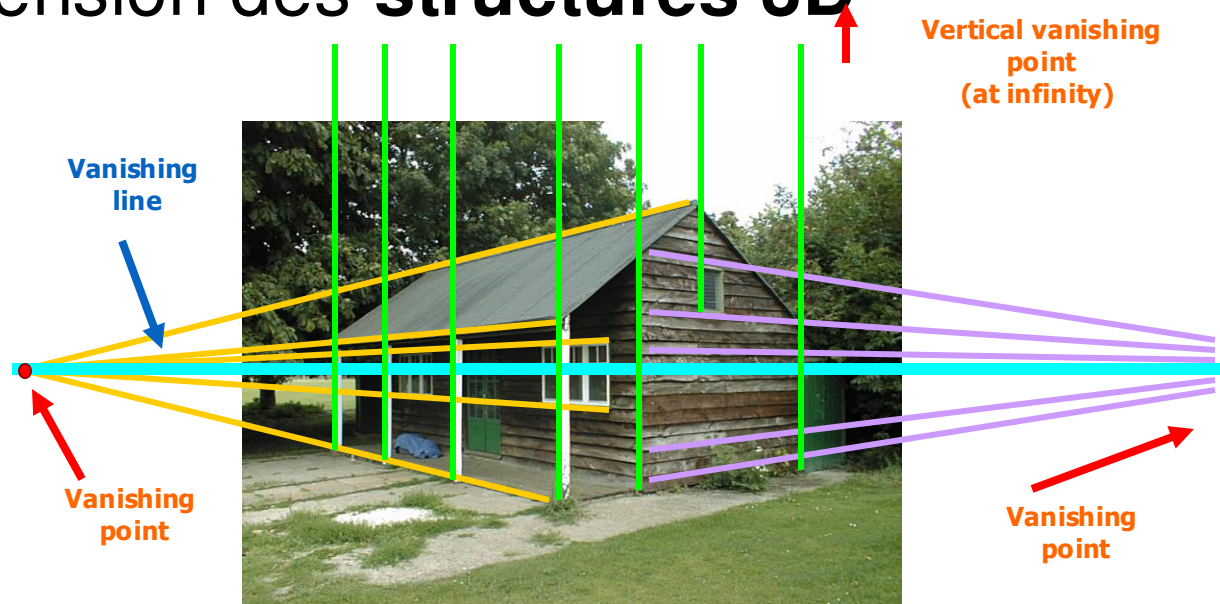
- Fournit des **indices** sur la forme et la **géométrie**
- Utile pour la **reconnaissance** d'objets
- Utile pour la compréhension des **structures 3D**



Credit: Jitendra Malik



Credit: Attneave



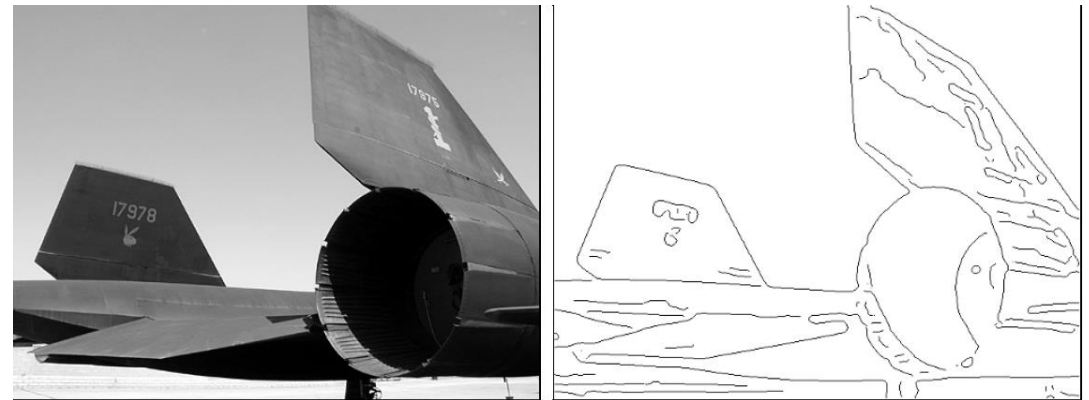
Source : N. Snavely

Détection de contours

Chapitre 5 : Segmentation (Partie 1)

Joël Lefebvre (UQÀM)

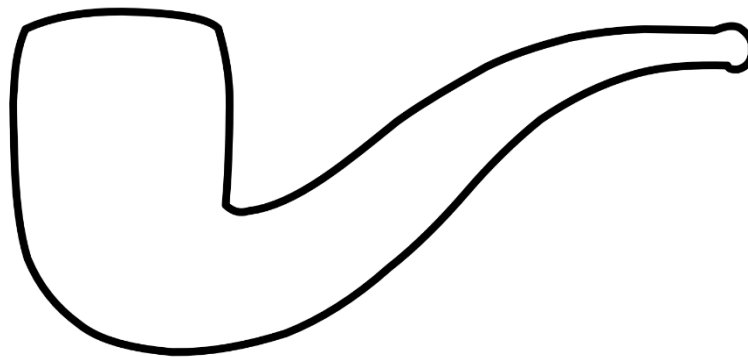
INF600F – Traitement d'images



(Burger 2009, Fig 6.1)

Détection de contours – Aperçu

- **But** : Identifier les changements visuels dans une image
- Intuitivement, de l'information **sémantique** est encodée dans les **contours**.
- **Quelles sont les « causes » des contours visuels?**



Ceci est une pipe

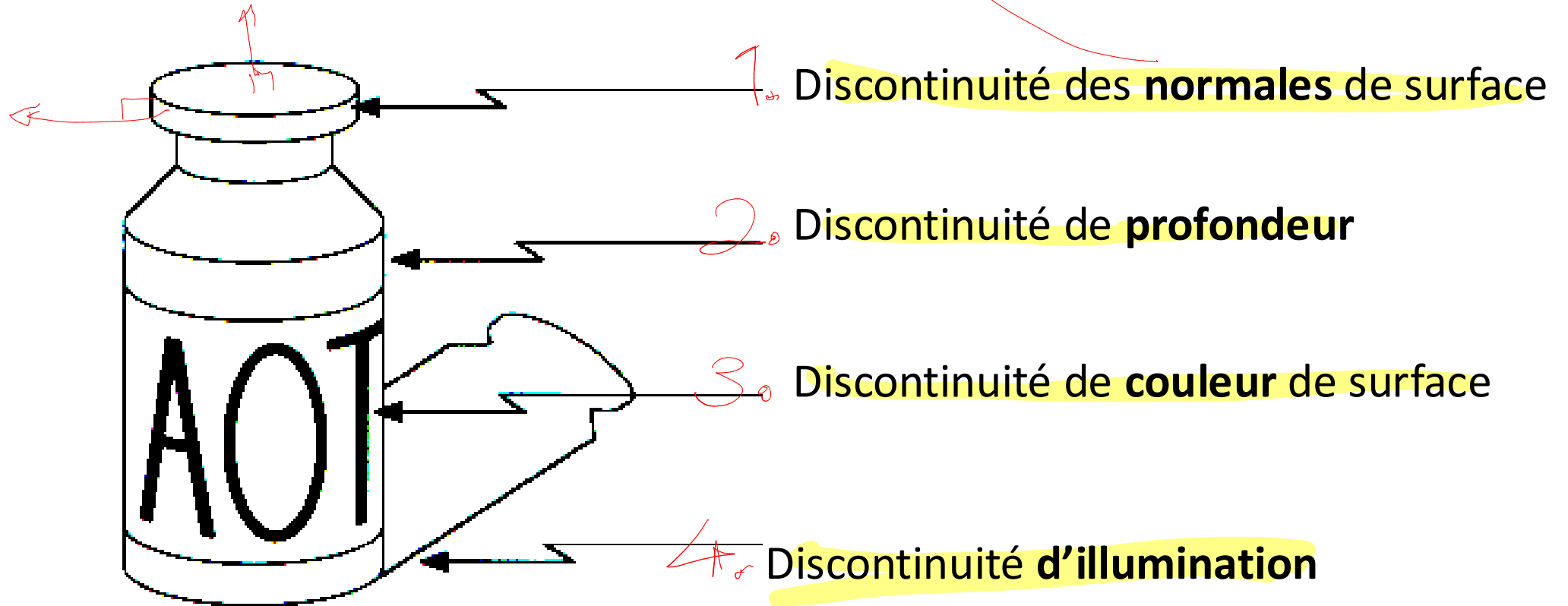


Adapté de la peinture
« La trahison des images » de
René Magritte (1929, [Source](#))

Origine des contours

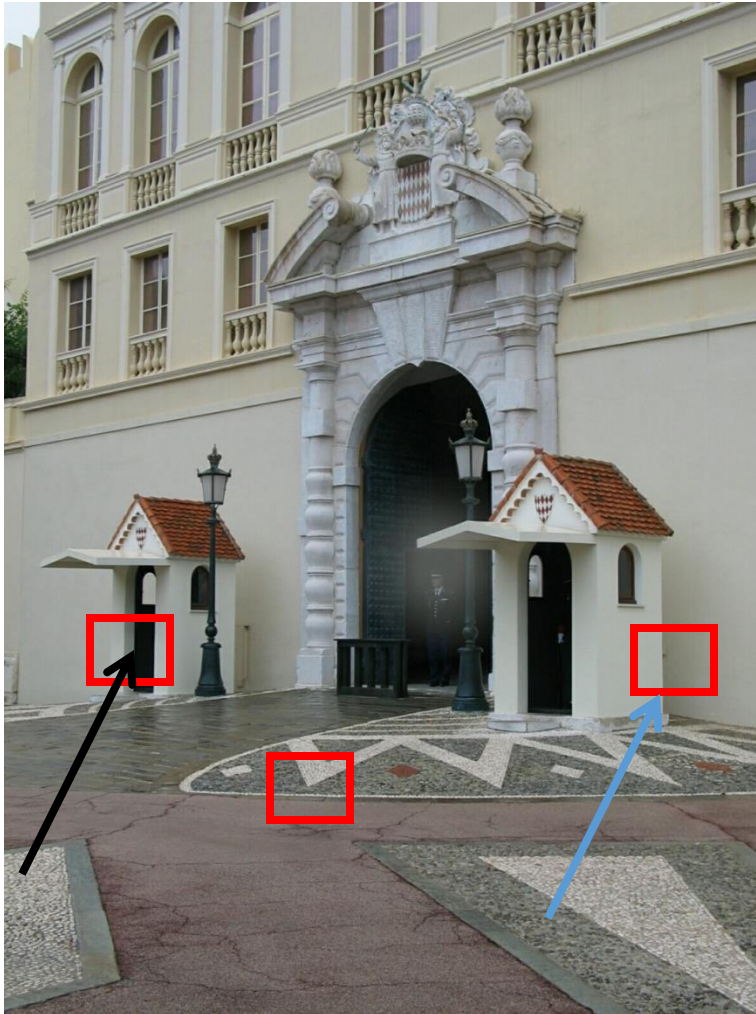
c'est un vecteur qui, joint à h et 90° , indique la direction

- Les contours sont causés par une variété de facteurs



Source: Steve Seitz

Exemple de contours



normal
prof.

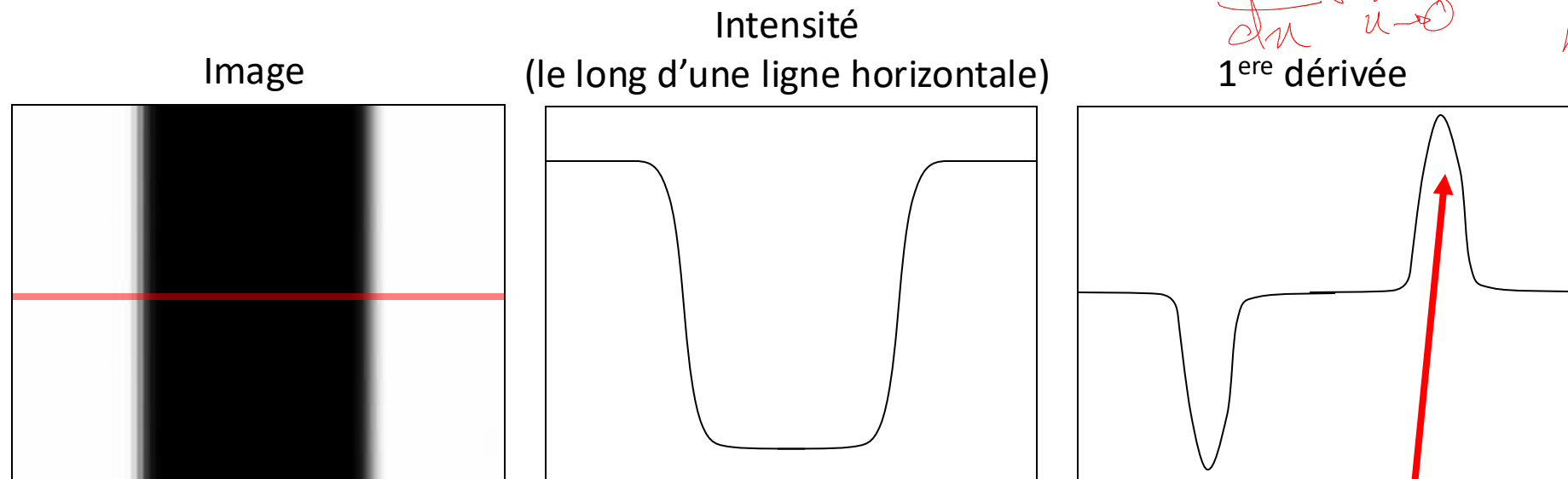


color

Source: D. Hoiem

Caractérisation des contours (1D)

- Un contour est un endroit présentant un **changement rapide** de l'intensité de l'image



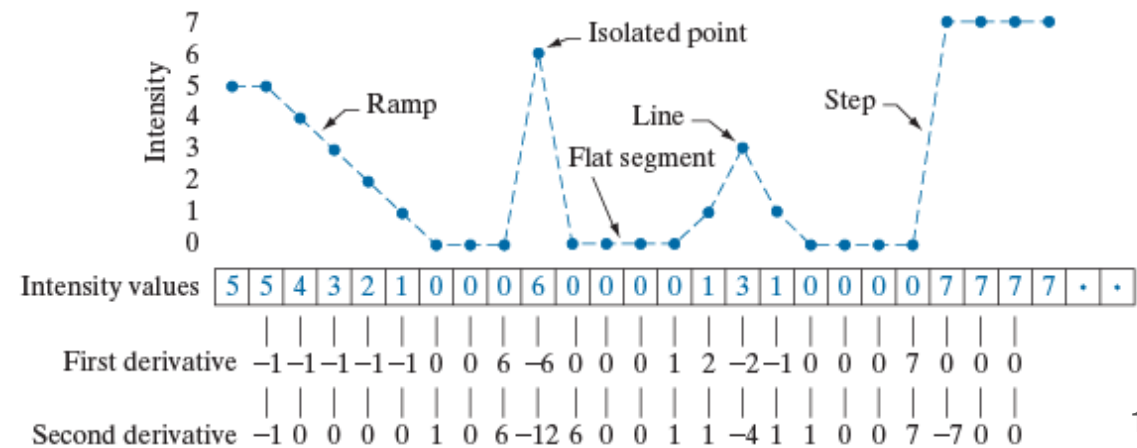
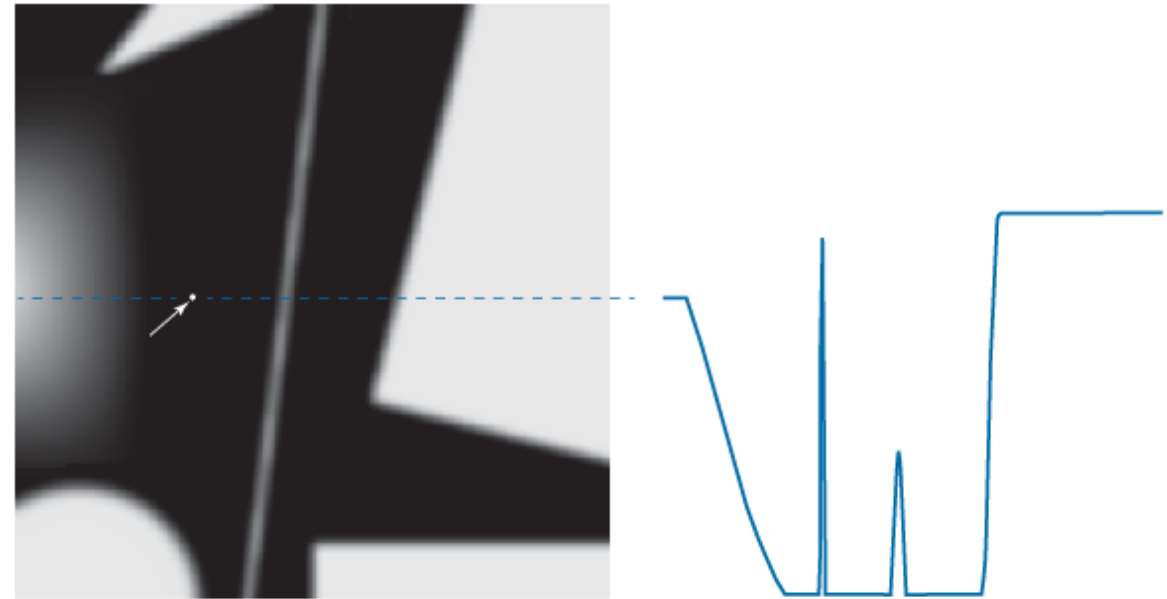
Source: L. Lazebnik & N. Snavely

Exemples de contour 1D

Plusieurs types de segments

- Variation lente (*ramp*)
- Point isolé
- Région uniforme (*flat*)
- Ligne
- Échelle (*step*)

Chaque type de segments influence la valeur et les variations (dérivées) du profil



Méthode du gradient (1D)

$$\frac{1}{2} [-1 \ 0 \ 1]$$

- Intensité le long d'une ligne : $f(x)$

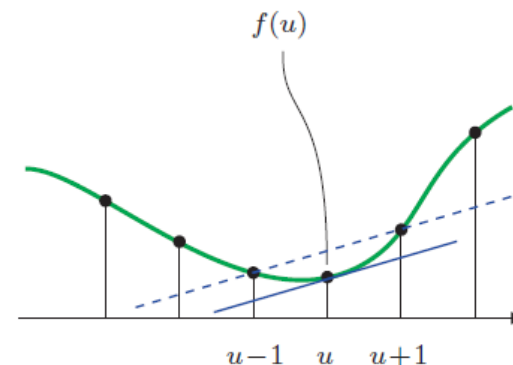
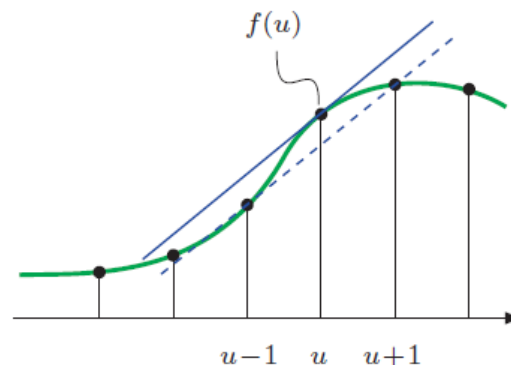
$$f_0 [0 \ 0 \ 1 \ 1 \ 2 \ 0 \dots]$$

$\frac{1}{2} \ \frac{1}{2} \ 0 \ -1$

- **1^{ère} dérivée** du signal : $f'(x) = \frac{df}{dx}(x)$

- On doit **approximer** la dérivée pour un **signal discret**

$$\frac{df}{du}(u) \approx \frac{f(u+1) - f(u-1)}{(u+1) - (u-1)} = \frac{f(u+1) - f(u-1)}{2}$$



(Burger, 2009)

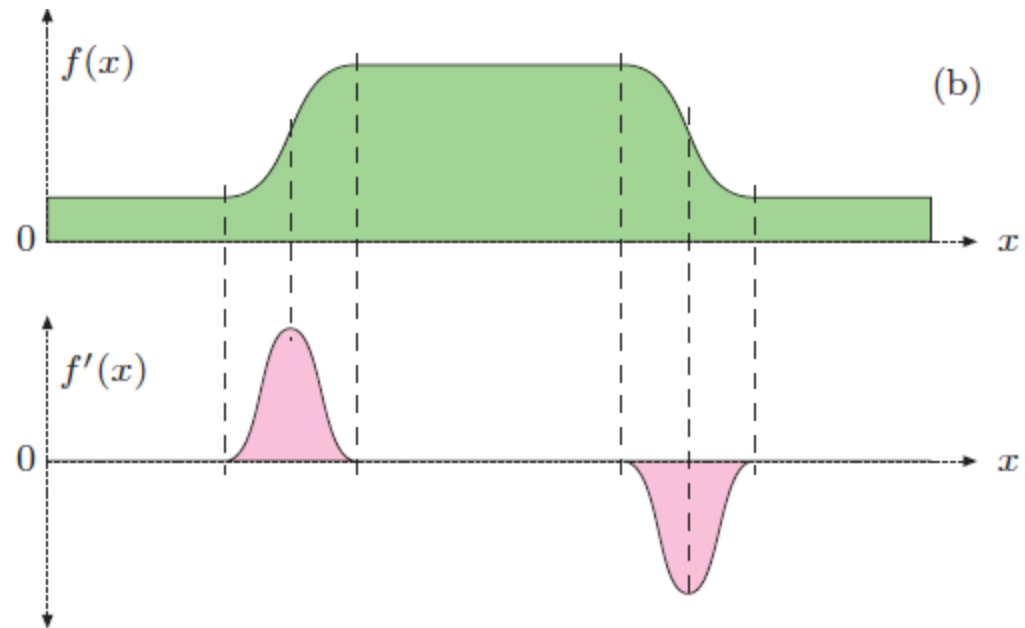
Méthode du **gradient** (2D)

Dérivée partielle : Dérivée selon une direction donnée pour une fonction multidimensionnelle $f(x, y)$

- $\frac{\partial f}{\partial x}$: Dérivée partielle selon la direction x
- $\frac{\partial f}{\partial y}$: Dérivée partielle selon la direction y



(a)



(c)

Gradient de l'image

- Le gradient est un **vecteur** qui pointe dans la direction de l'augmentation d'intensité la plus rapide

$$\nabla f = \left[\frac{\partial f}{\partial x}, \frac{\partial f}{\partial y} \right]$$

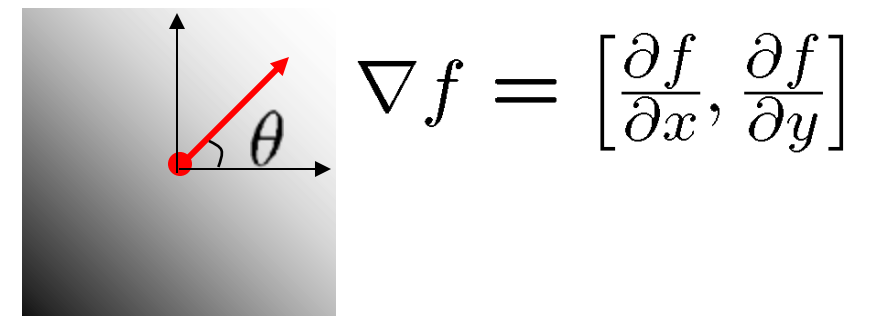
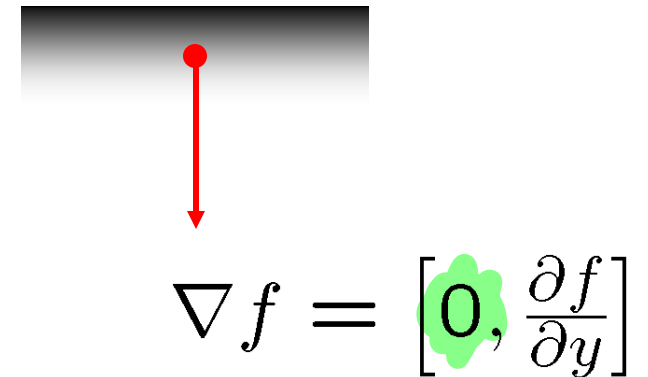
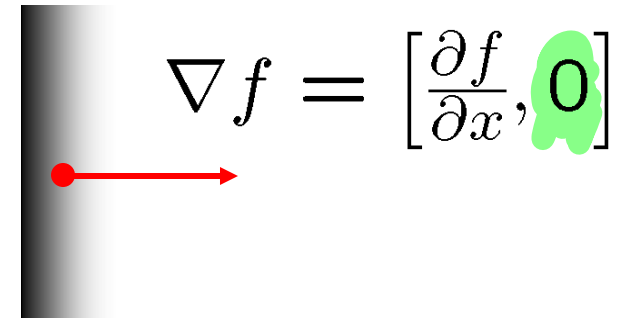
- La **force** du contour est donnée par l'**amplitude** du vecteur gradient

$$|\nabla f| = \sqrt{\left(\frac{\partial f}{\partial x} \right)^2 + \left(\frac{\partial f}{\partial y} \right)^2}$$

- La **direction** du gradient est donnée par

$$\theta = \tan^{-1} \left(\frac{\partial f}{\partial y} / \frac{\partial f}{\partial x} \right)$$

- Quel est le lien avec la direction des contours ?



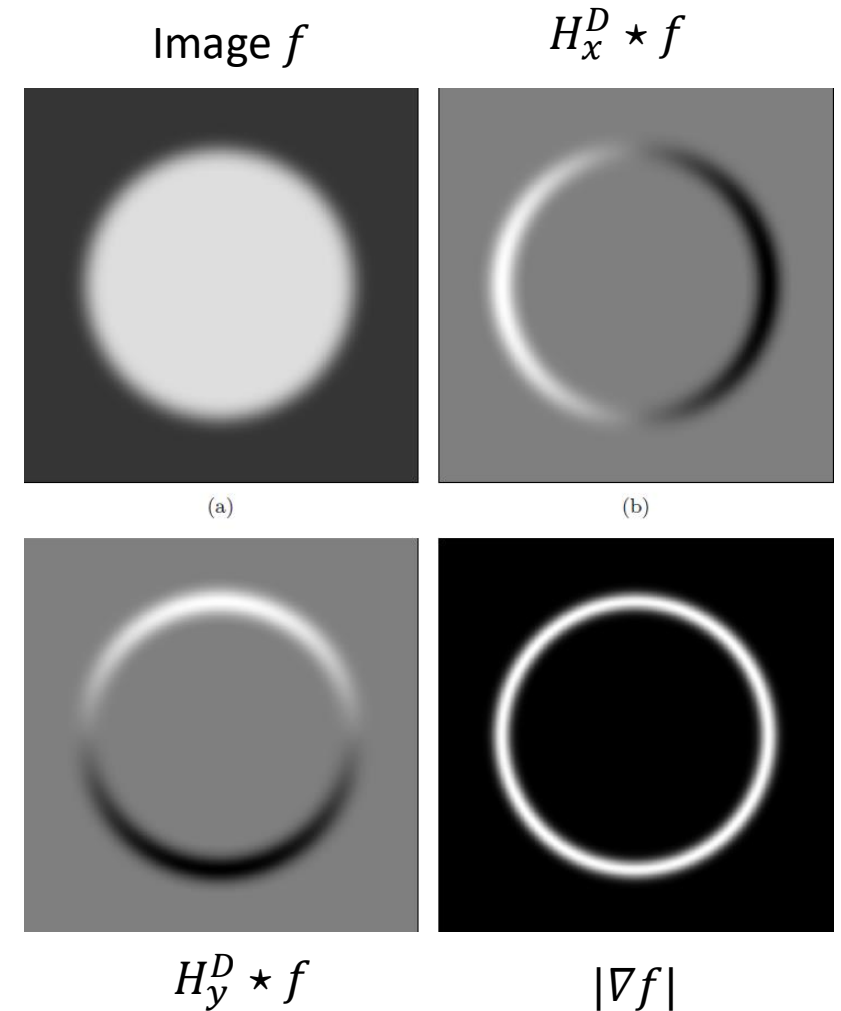
Filtres différentiels (*Derivative filters*)

- Représentation du gradient par son **approximation en différence finie**
- Filtre linéaire pour la composante x du gradient

$$H_x^D = \begin{bmatrix} -0.5 & 0 & 0.5 \end{bmatrix}$$

- Filtre linéaire pour la composante y du gradient

$$H_y^D = \begin{bmatrix} -0.5 \\ 0 \\ 0.5 \end{bmatrix}$$



Effet du bruit

- Où se situe la bordure ?

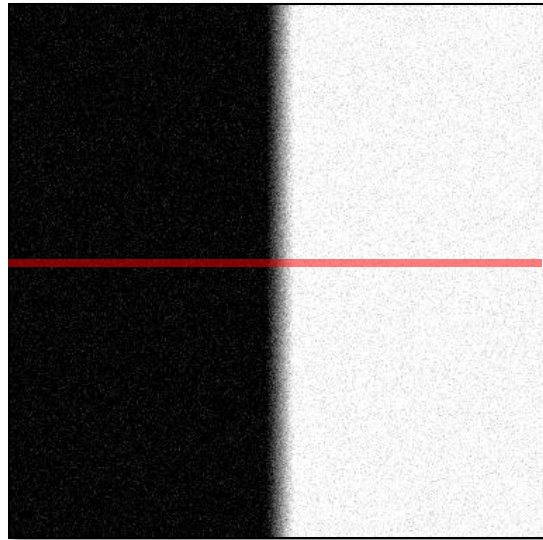
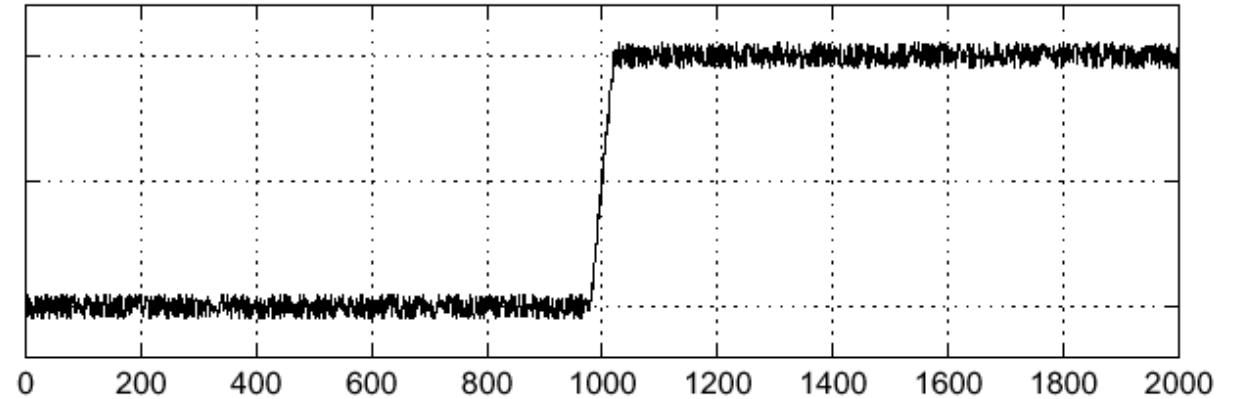
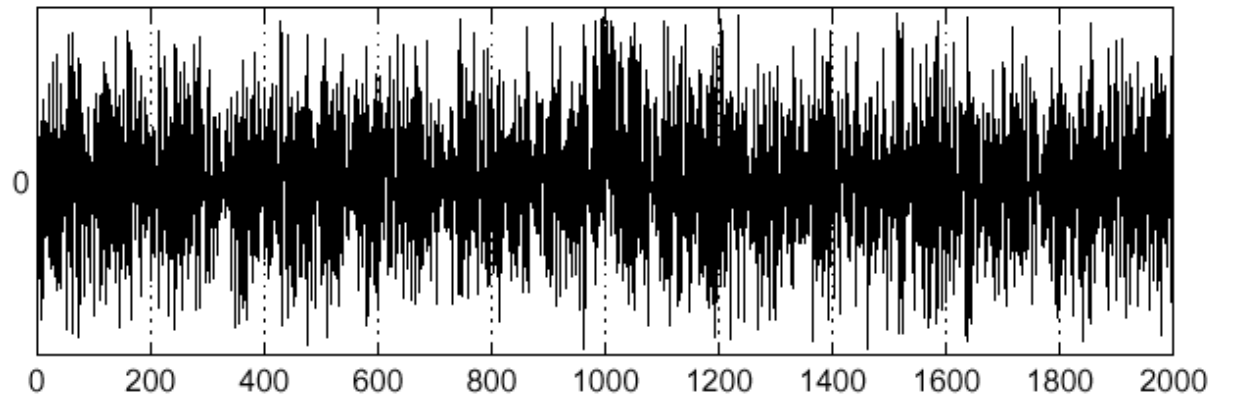


Image bruitée

$$f(x)$$

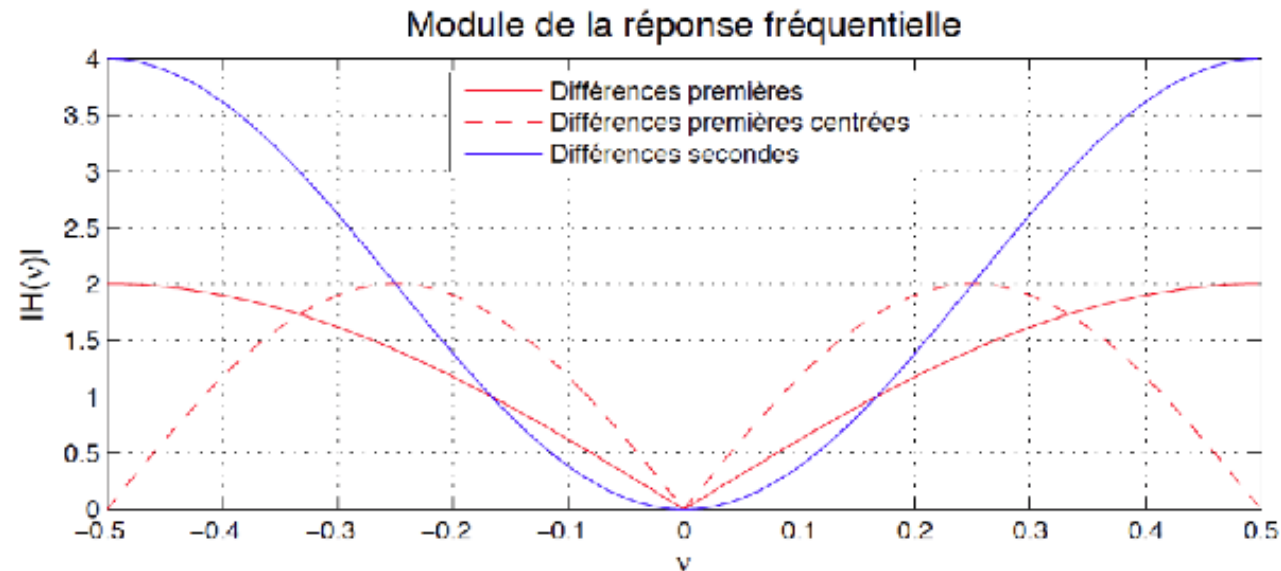


$$\frac{d}{dx}f(x)$$



Effet du bruit : Hautes fréquences

- Le **bruit** contient des **hautes fréquences**
- Les bordures contiennent aussi des hautes fréquences
- La différentiation est un filtre passe-haut
- **La différentiation accentue le bruit**

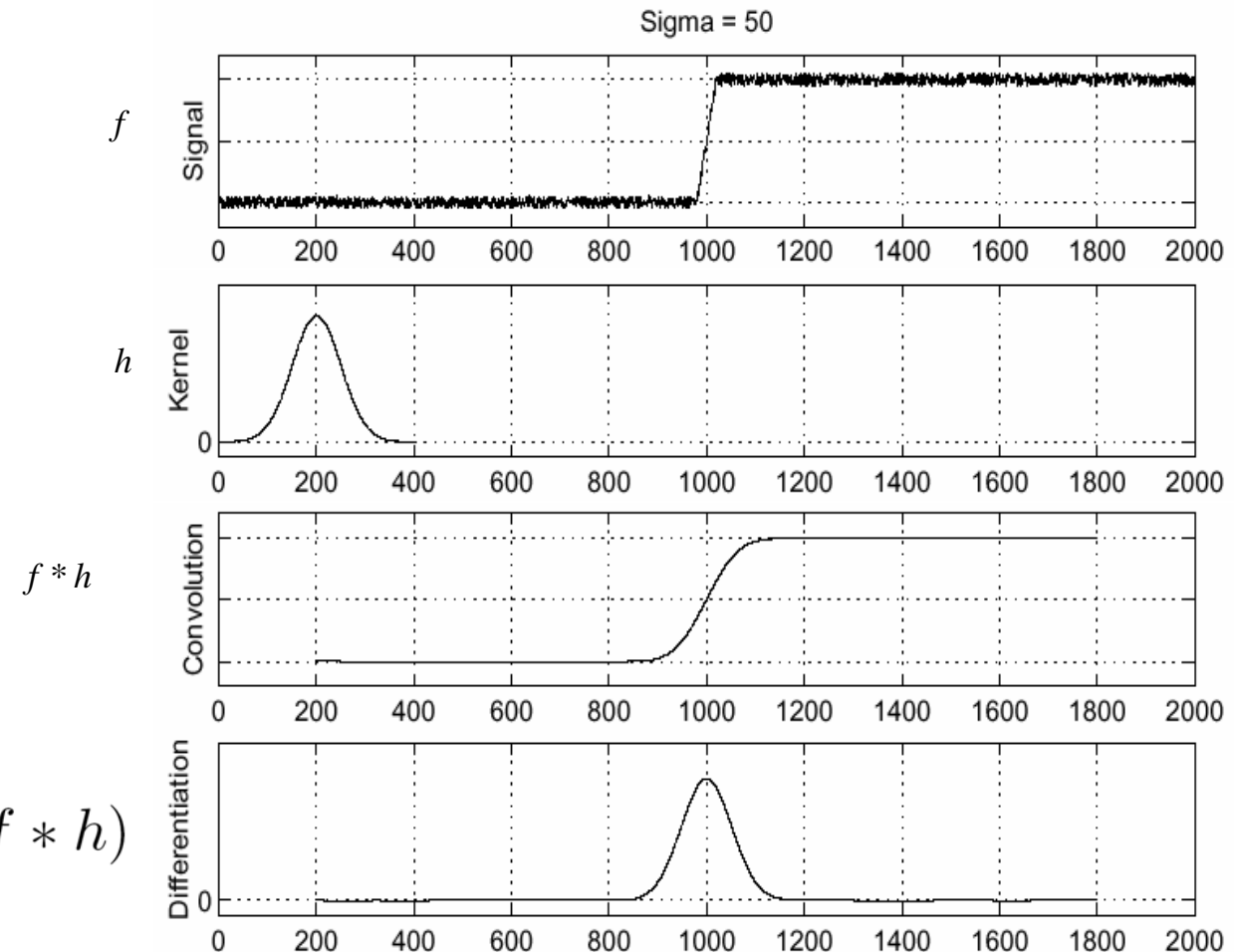


Solution : Appliquer un lissage

- Pour détecter les contours, chercher les pics dans la dérivée partielle d'une **version lissée** de l'image originale

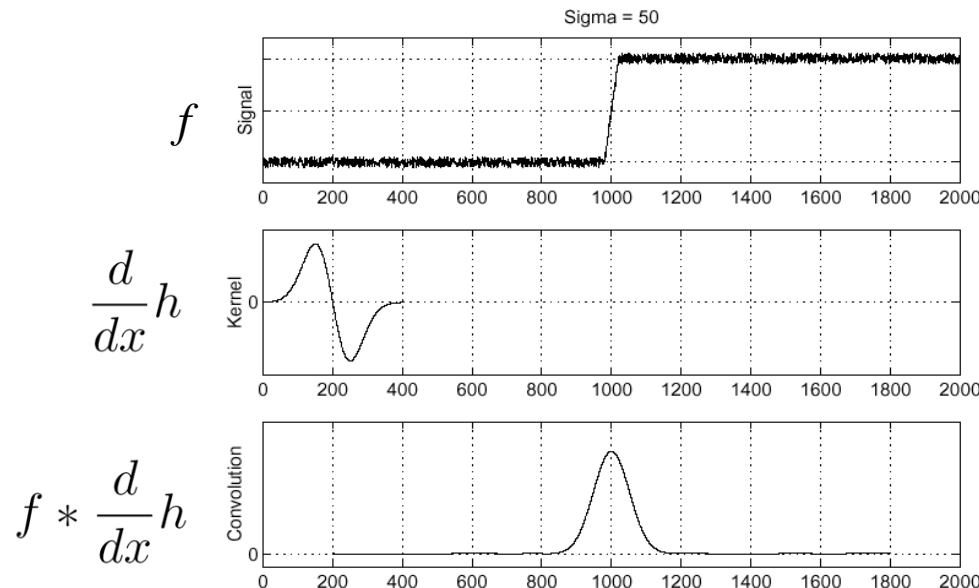
$$\frac{\partial}{\partial x}(f * h)$$

où h est **un filtre passe-bas**
(exemple : *Filtre gaussien*) $\frac{d}{dx}(f * h)$



Propriété d'associativité de la convolution

- La différentiation est une convolution
- La convolution est associative : $\frac{d}{dx} (f * h) = f * \frac{d}{dx} h$
- Ceci permet de réduire le nombre d'opérations



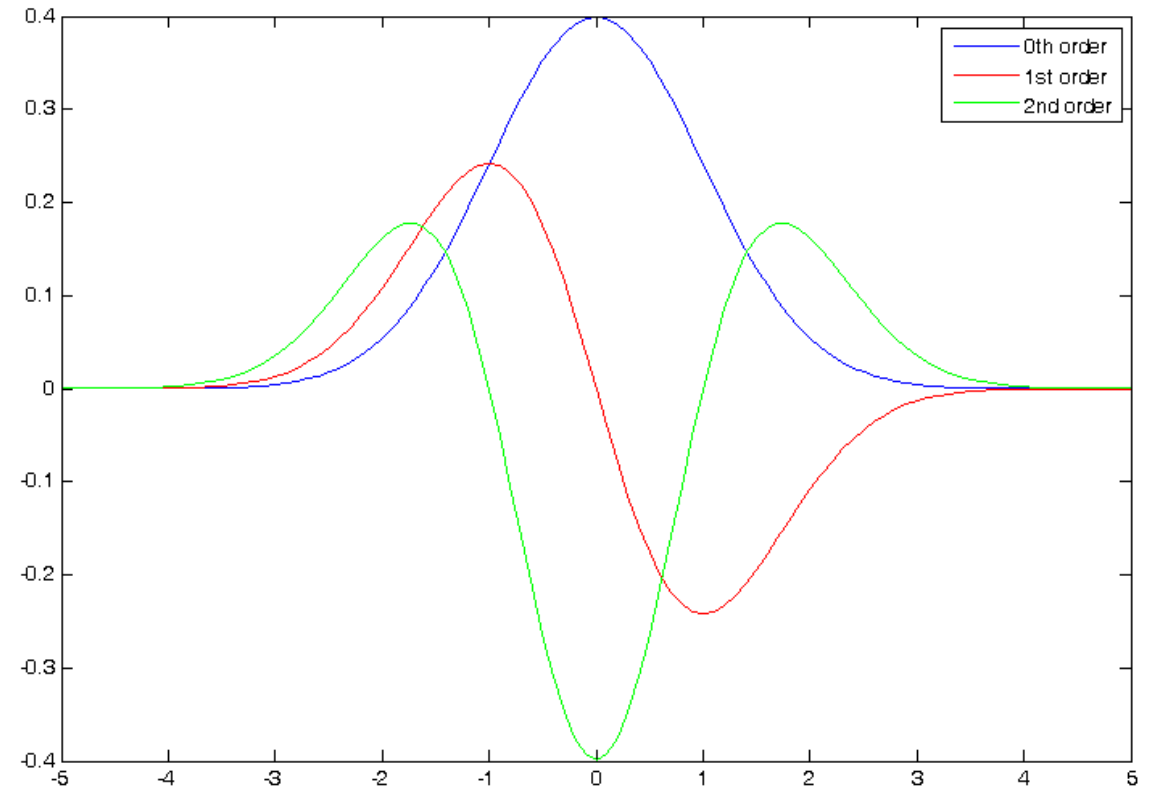
Rappel : Filtre gaussien 1D & dérivées

- Filtre gaussien

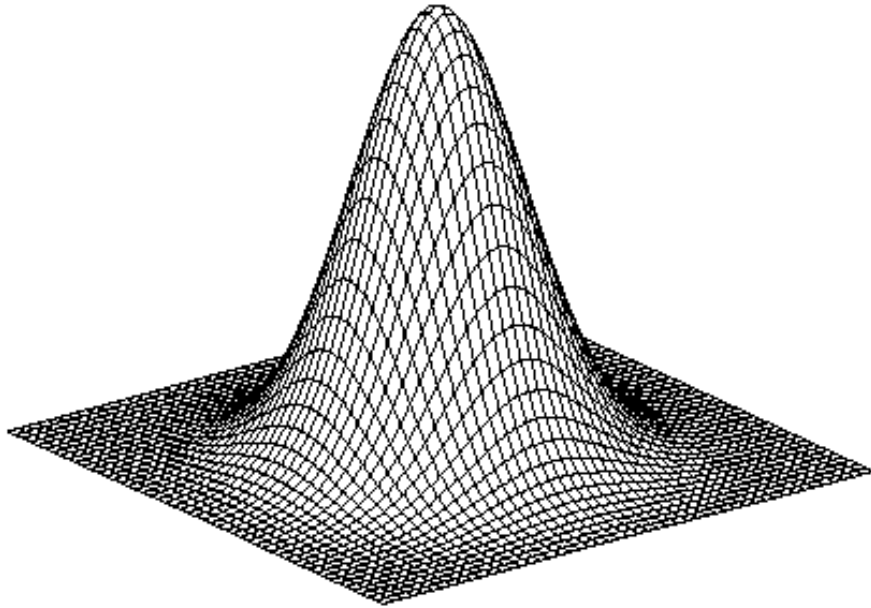
$$G_{\sigma} = \frac{1}{\sqrt{2\pi}\sigma} e^{-\frac{x^2}{2\sigma^2}}$$

- 1^{re} dérivée du filtre gaussien

$$\begin{aligned} G'_{\sigma}(x) &= \frac{d}{dx} G_{\sigma}(x) \\ &= -\frac{1}{\sigma} \left(\frac{x}{\sigma}\right) G_{\sigma}(x) \end{aligned}$$

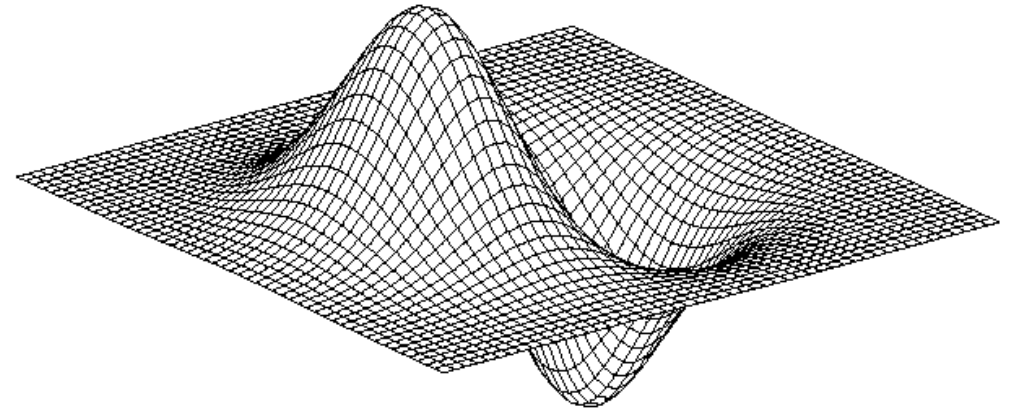


Filtre pour la détection des contours 2D



Gaussienne

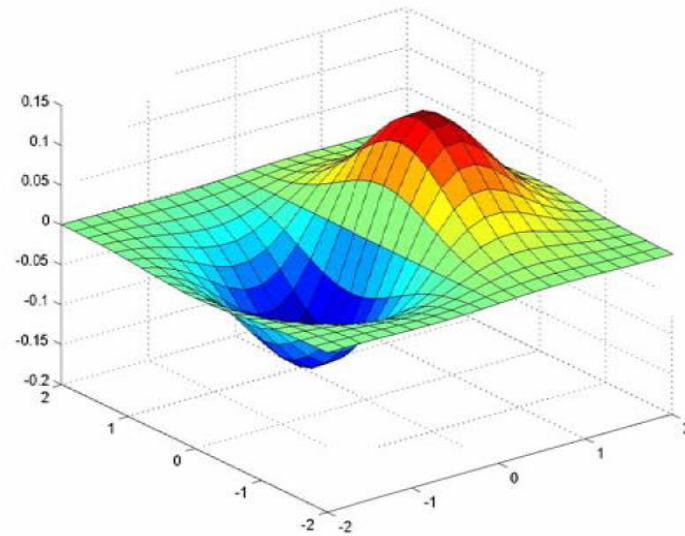
$$h_{\sigma}(x, y) = \frac{1}{2\pi\sigma^2} e^{-\frac{x^2+y^2}{2\sigma^2}}$$



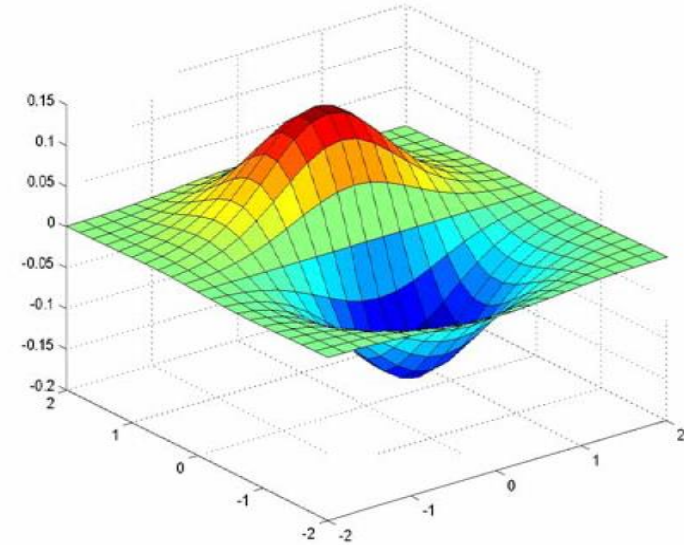
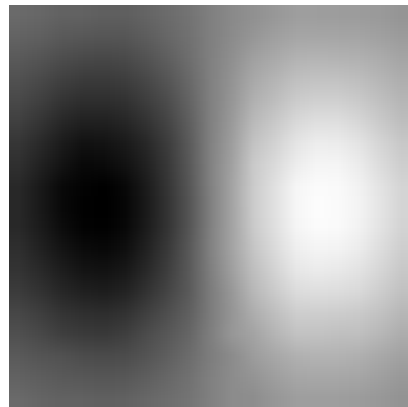
Dérivée partielle x de la Gaussienne

$$\frac{\partial}{\partial x} h_{\sigma}(x, y)$$

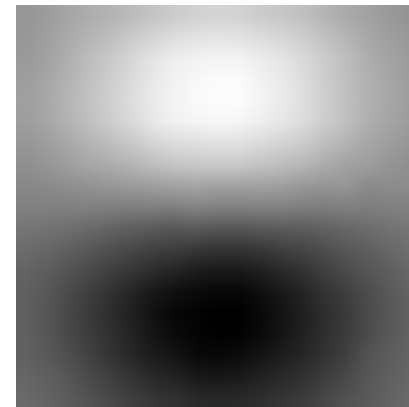
Dérivées partielles du filtre gaussien



Direction X



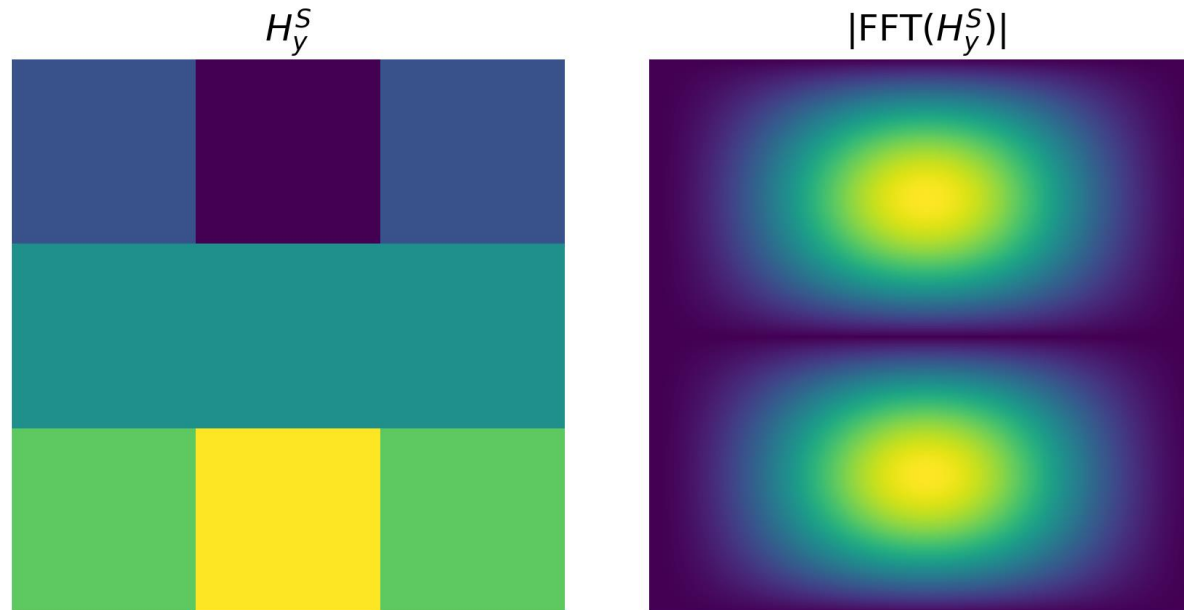
Direction Y



Opérateur de Sobel

- Approximation de la dérivée de la gaussienne

$$H_x^S = \begin{bmatrix} -1 & 0 & 1 \\ -2 & \mathbf{0} & 2 \\ -1 & 0 & 1 \end{bmatrix}, H_y^S = \begin{bmatrix} -1 & -2 & -1 \\ 0 & \mathbf{0} & 0 \\ 1 & 2 & 1 \end{bmatrix}$$

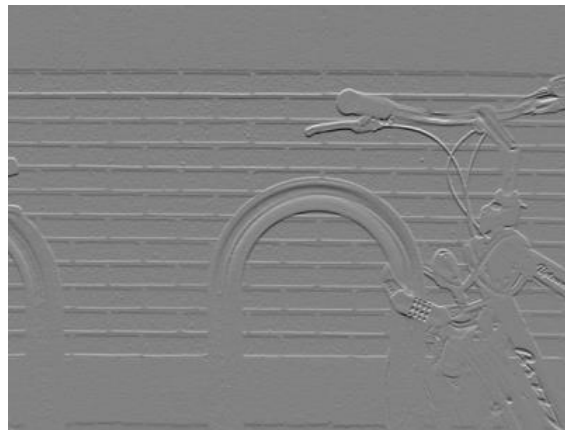
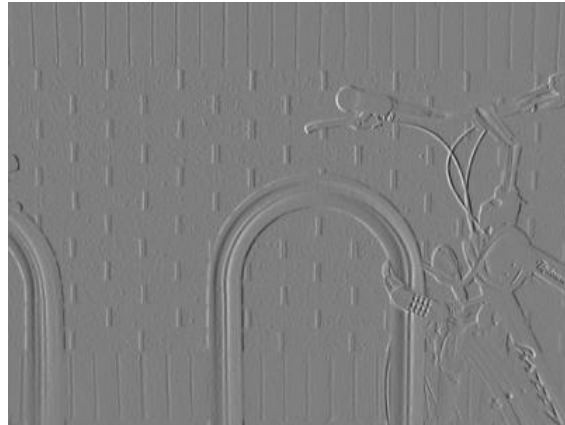


Exemple : Opérateur de Sobel

Image originale f



$$G_x = H_x^S * f$$



$$G_y = H_y^S * f$$

$$\text{Amplitude } \sqrt{G_x^2 + G_y^2}$$



Source: Wikipedia

Exemple : Sobel + Bruit

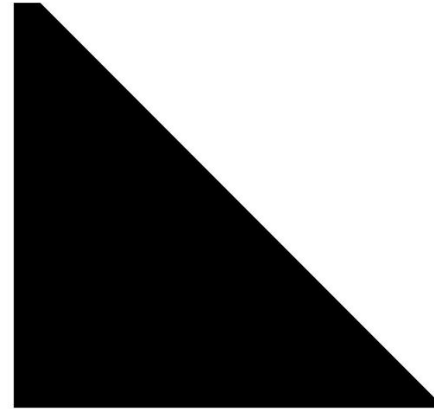
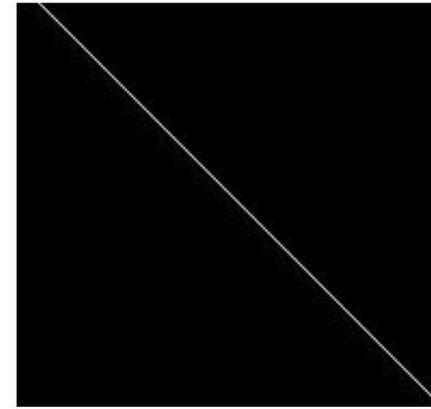


Image with Edge



Edge Location

Source : N. Snavely

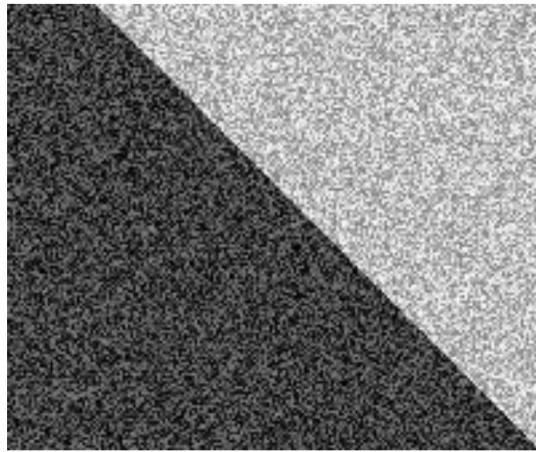
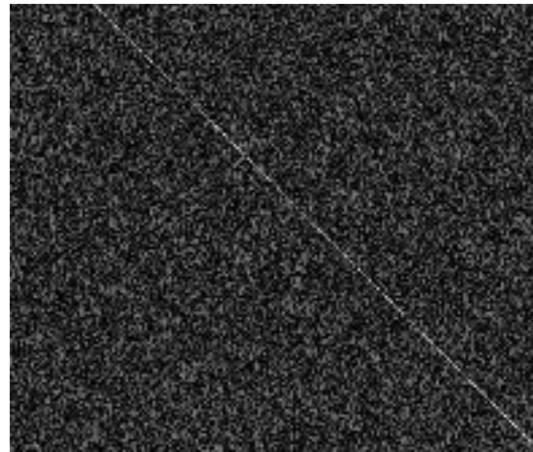
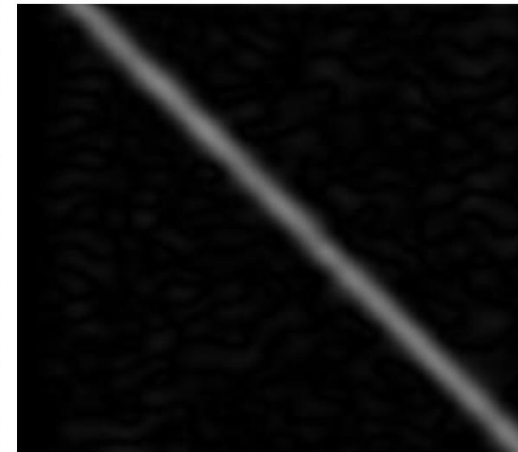


Image + Noise



Derivatives detect
edge *and* noise



Smoothed derivative removes
noise, but blurs edge

Opérateurs de Sobel & Prewitt

- Lissage combiné au calcul de la différence finie
- Opérateur de **Prewitt** : lissage uniforme

$$H_x^P = \begin{bmatrix} 1 \\ \mathbf{1} \\ 1 \end{bmatrix} * \begin{bmatrix} -1 & \mathbf{0} & 1 \end{bmatrix} = \begin{bmatrix} -1 & 0 & 1 \\ -1 & \mathbf{0} & 1 \\ -1 & 0 & 1 \end{bmatrix}$$

- Opérateur de **Sobel** : Lissage gaussien

$$H_x^P = \begin{bmatrix} 1 \\ \mathbf{2} \\ 1 \end{bmatrix} * \begin{bmatrix} -1 & \mathbf{0} & 1 \end{bmatrix} = \begin{bmatrix} -1 & 0 & 1 \\ -2 & \mathbf{0} & 2 \\ -1 & 0 & 1 \end{bmatrix}$$

Approximation du gradient de l'image avec les opérateurs de Prewitt & Sobel

- Approximation du gradient avec l'opérateur de Prewitt

$$\nabla I(x, y) \approx \frac{1}{6} \begin{bmatrix} (I * H_x^P)(x, y) \\ (I * H_y^P)(x, y) \end{bmatrix}$$

- Approximation du gradient avec l'opérateur de Sobel

$$\nabla I(x, y) \approx \frac{1}{8} \begin{bmatrix} (I * H_x^S)(x, y) \\ (I * H_y^S)(x, y) \end{bmatrix}$$

Orientation et force des contours pour Sobel / Prewitt

- Calcul des **composantes X et Y** du gradient

$$D_x = H_x * I \text{ et } D_y = H_y * I$$

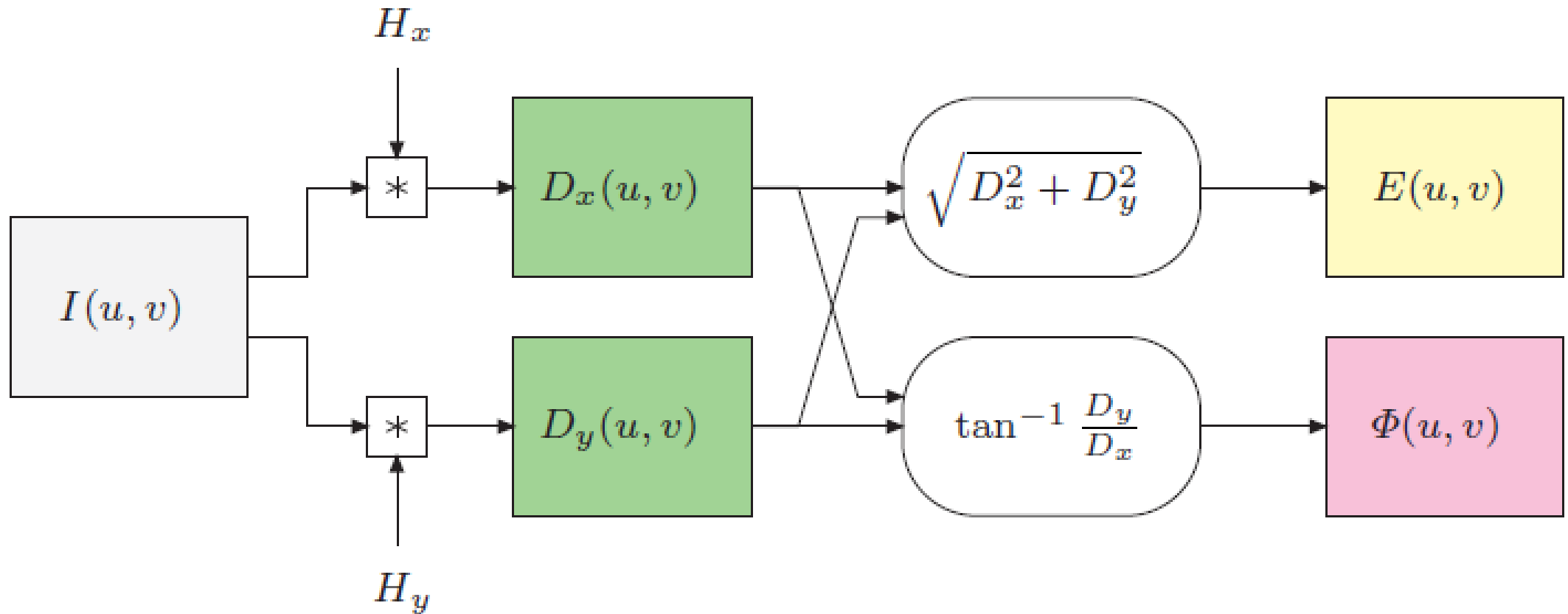
- **Force du contour**

$$E(u, v) = \sqrt{(D_x(x, y))^2 + (D_y(x, y))^2}$$

- **Orientation du contour**

$$\Phi(x, y) = \tan^{-1} \left(\frac{D_y(u, v)}{D_x(u, v)} \right)$$

Représentation graphique du pipeline d'analyse des contours avec Sobel

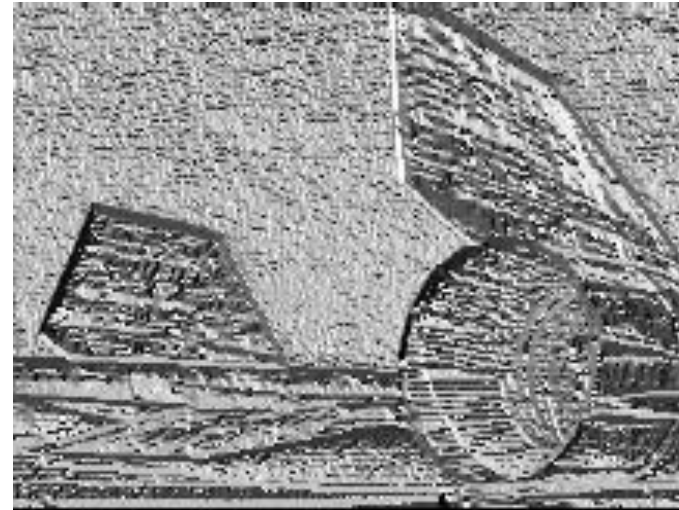


Exemple : Force & Orientation des contours avec Sobel

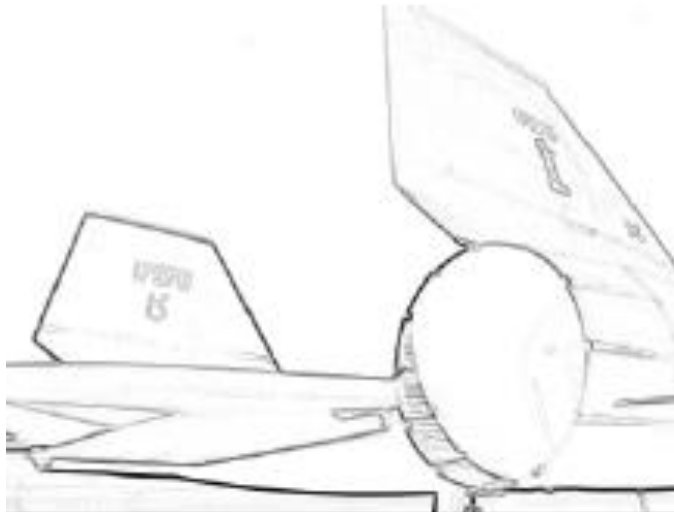
Image
originale



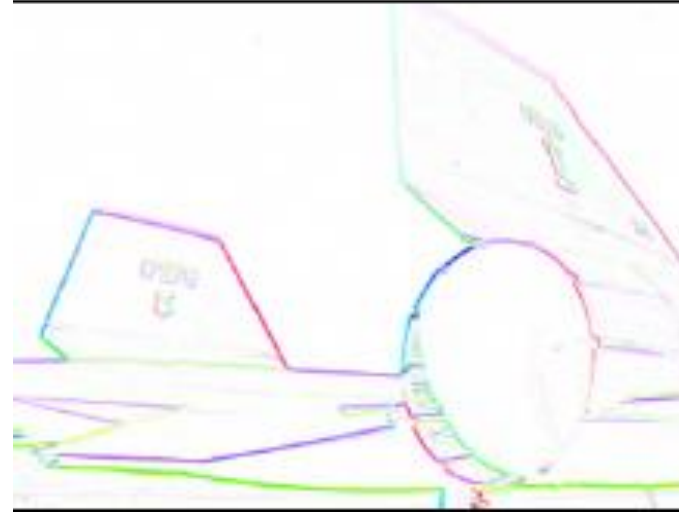
Orientation des
contours



Force des
contours



Orientation des
contours
(en couleur)



Détection des contours : Autre opérateur

- On peut utiliser le **Laplacien** (2^e dérivée) plutôt que le gradient (1^{ère} dérivée) pour détecter les contours.

$$\nabla^2 f(x, y) = \frac{\partial^2 f}{\partial x^2} + \frac{\partial^2 f}{\partial y^2}$$

- **Amplitude** : rapidité des variations de f
- **Direction** : plus grande pente
- **Approximations numériques**

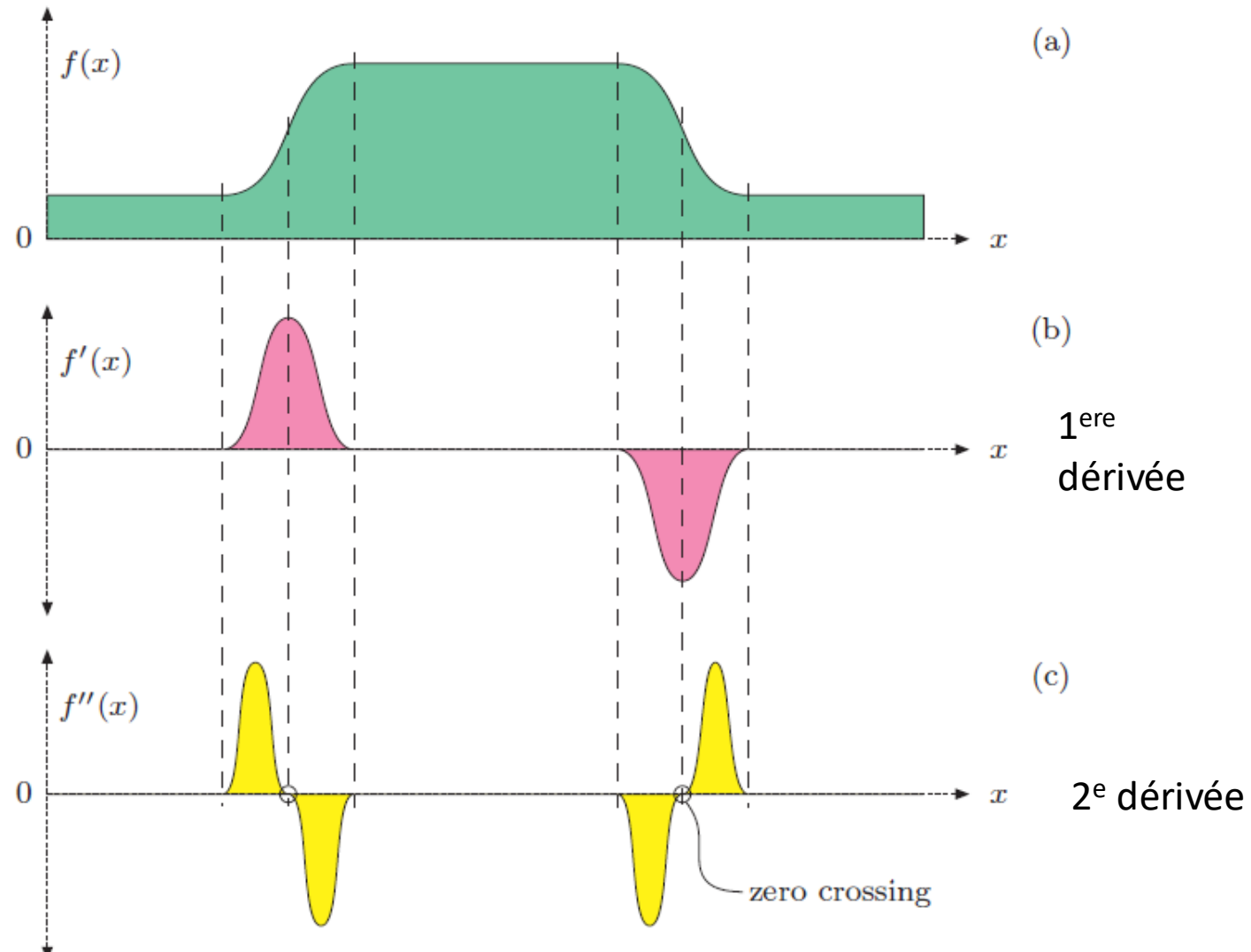
$$\nabla^2 = \begin{pmatrix} 0 & -1 & 0 \\ -1 & 4 & -1 \\ 0 & -1 & 0 \end{pmatrix}$$

Sommes d'opérations 1D

$$\nabla^2 = \begin{pmatrix} -1 & -1 & -1 \\ -1 & 8 & -1 \\ -1 & -1 & -1 \end{pmatrix}$$

Meilleure isotropie

Comparaison entre 1^{ere} / 2^e dérivée



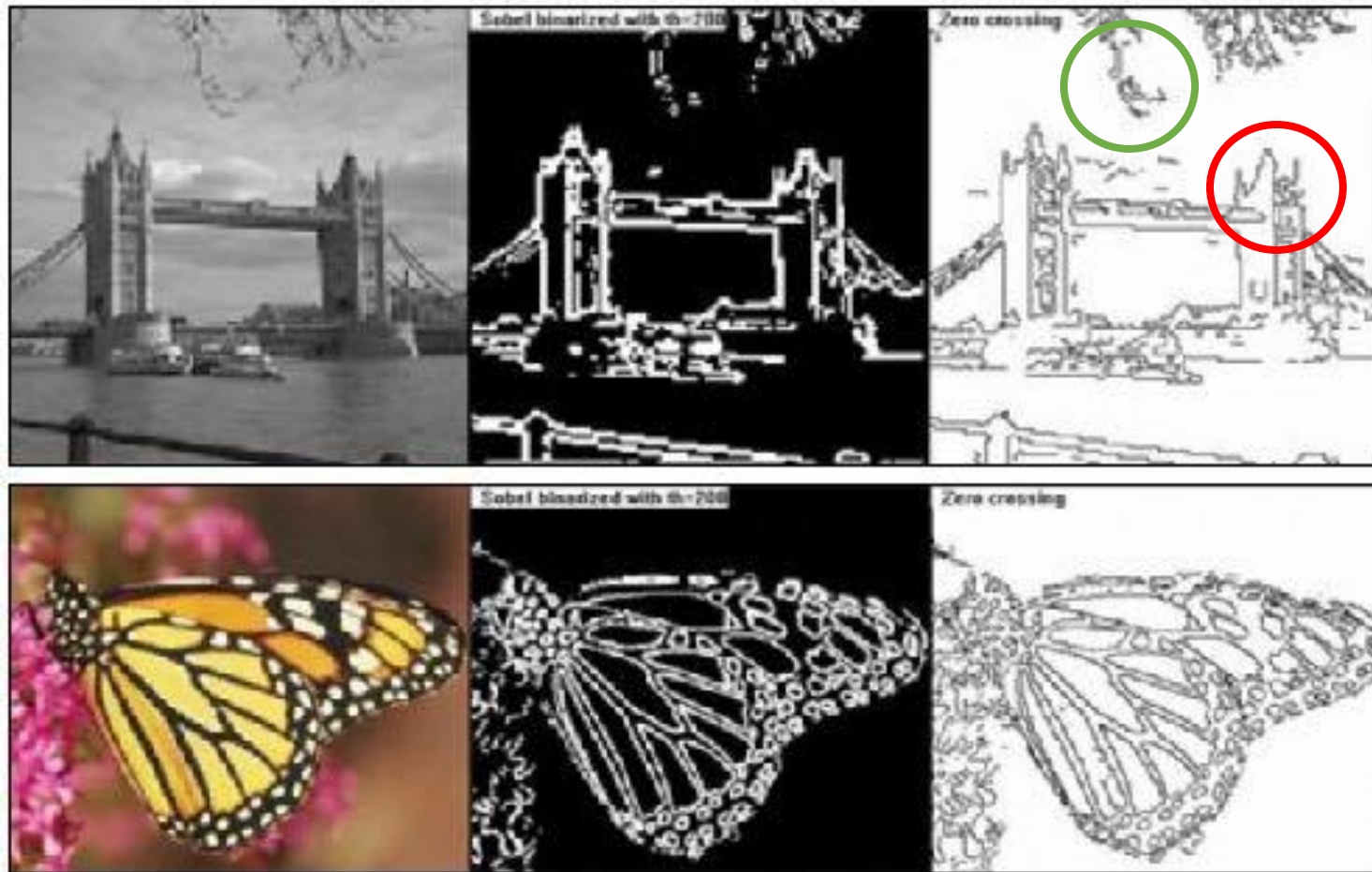
(Burger, 2009)

Comparaison : Gradient vs Laplacien

Image

Sobel

Marr-Hildreth



Description
plus fine

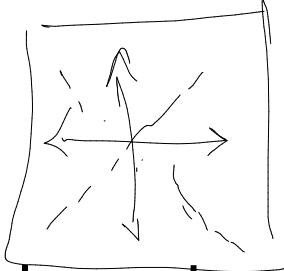
Manque certains
détails

Synthèse sur les méthodes élémentaires de détection de contours

Gradient

- Directionnel
- Moins sensible au bruit (différences premières)
- Possibilité de mise en œuvre par opérateurs 1D

Laplacien

- Isotrope → 
- Très sensible au bruit (différences secondes)
- Possibilité limitée de mise en œuvre par opérateurs 1D
- Double réponse aux discontinuités → détection des passages par zéro

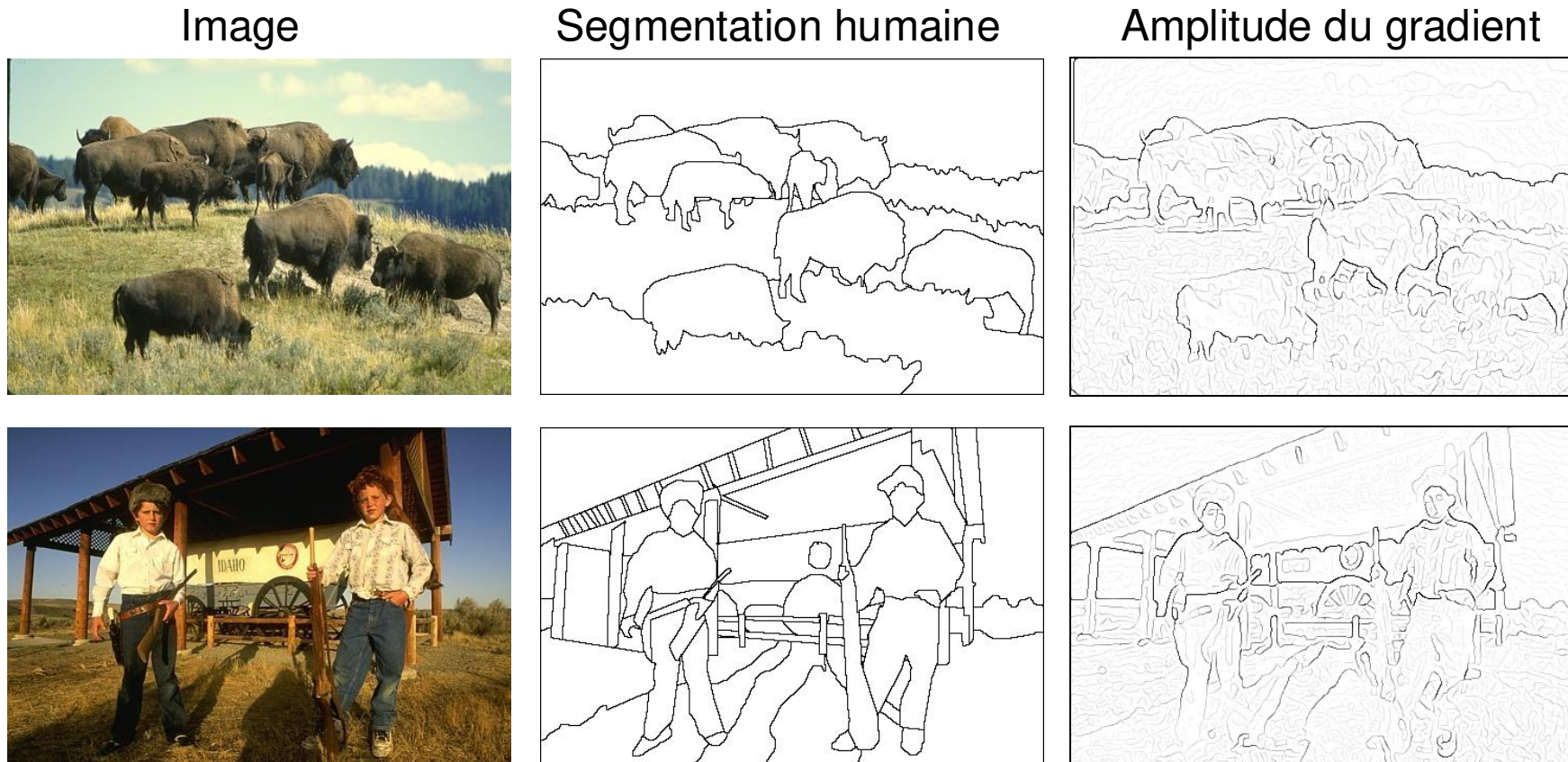
→ moins sensible aux diag

Détection des frontières des objets

- Les résultats obtenus avec les **méthodes simples** de détection des contours (p. ex. Sobel) **sont souvent différents** de ce que les **humains perçoivent** comme étant des contours importants.
- **Raison 1** : Les opérateurs sont locaux et petits (3x3) et détectent uniquement les variations locales d'intensité.
- **Raison 2** : Les contours existent à plusieurs échelles

Quelles sont les frontières perçues par les humains ?

- Base de données de segmentation de Berkeley ([URL](#))



Méthode de Canny pour détecter les contours

- Probablement la méthode de détection de contours **la plus utilisée** en vision par ordinateur
- **Modèle théorique** : Des contours échelons corrompus par du bruit gaussien additif.
- **Canny** a montré que la 1^{ère} dérivée de la gaussienne est une bonne approximation de l'opérateur permettant d'optimiser le ratio signal-sur-bruit et la localisation de la détection des contours.

J. Canny, [*A Computational Approach To Edge Detection*](#), IEEE Trans. Pattern Analysis and Machine Intelligence, 8:679-714, 1986.
(> 30K citations!)

Méthode de Canny : Image initiale

- **Démo** : <http://bigwww.epfl.ch/demo/ip/demos/edgeDetector/>

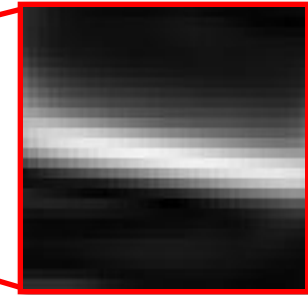


Source : N. Snavely
Image credit: Joseph Redmon

Méthode de Canny – Algorithme (1)

1. Filtrer l'image avec les dérivées x et y de la gaussienne

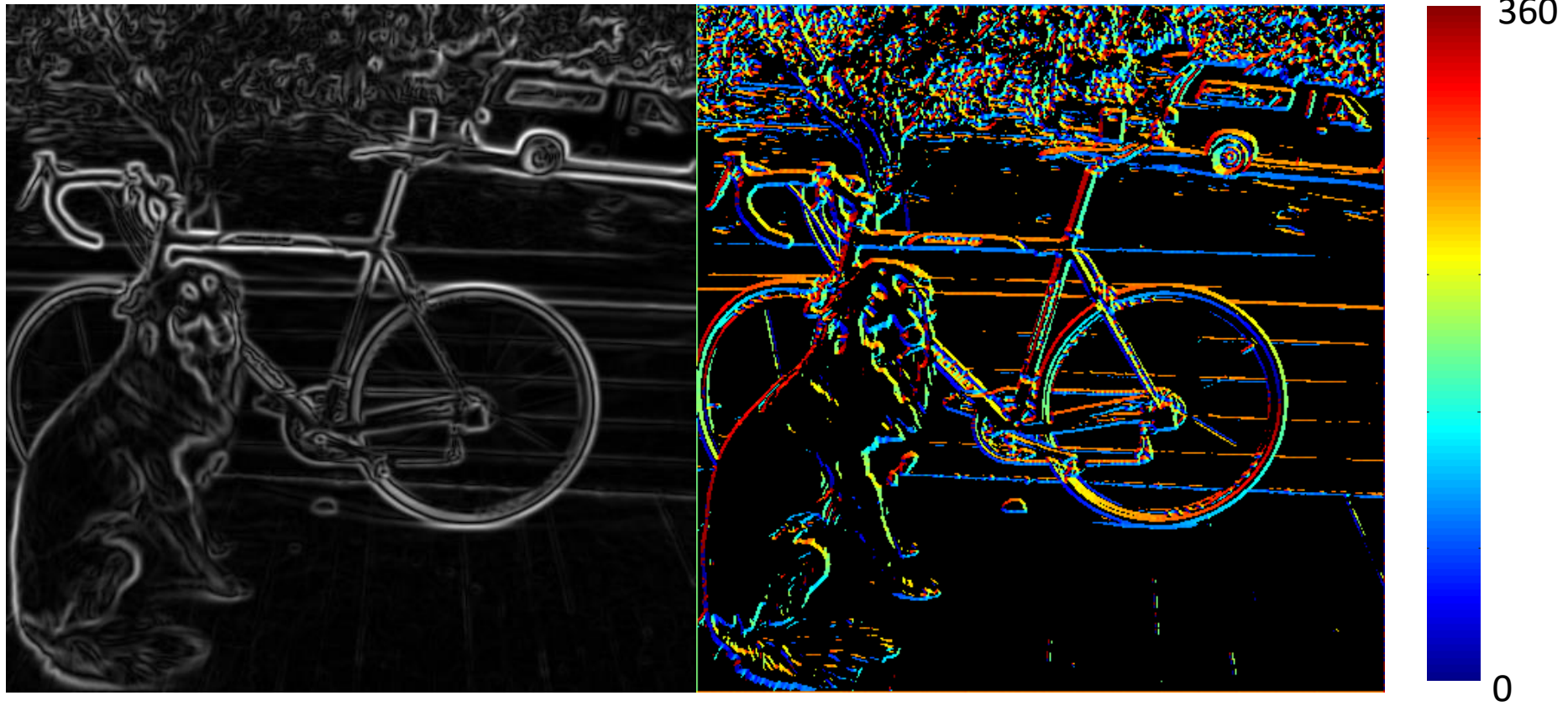
Amplitude
du gradient



Où est le contour ?

Méthode de Canny – Algorithme (2)

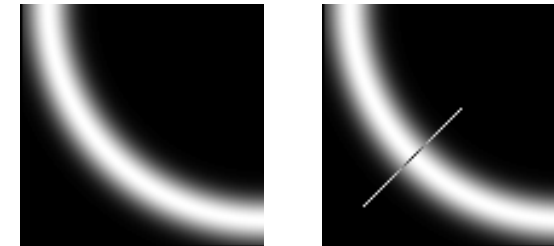
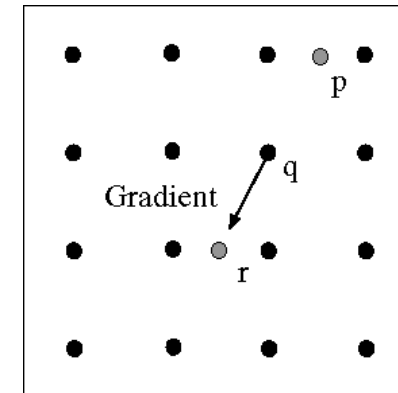
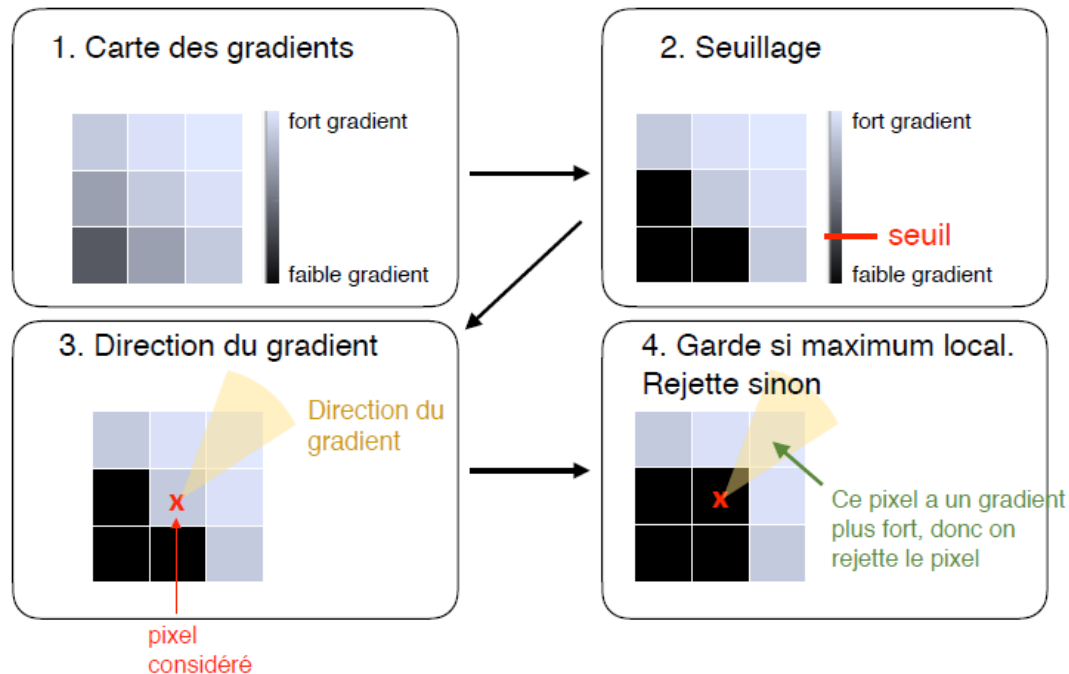
2. Calcul de l'amplitude et de l'orientation du gradient.



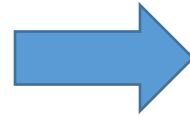
Méthode de Canny – Algorithme (3)

3. Affinage des contours via la suppression des non-maximums

- Convertir les arêtes minces d'une largeur de plusieurs pixels en une ligne d'une largeur d'un seul pixel



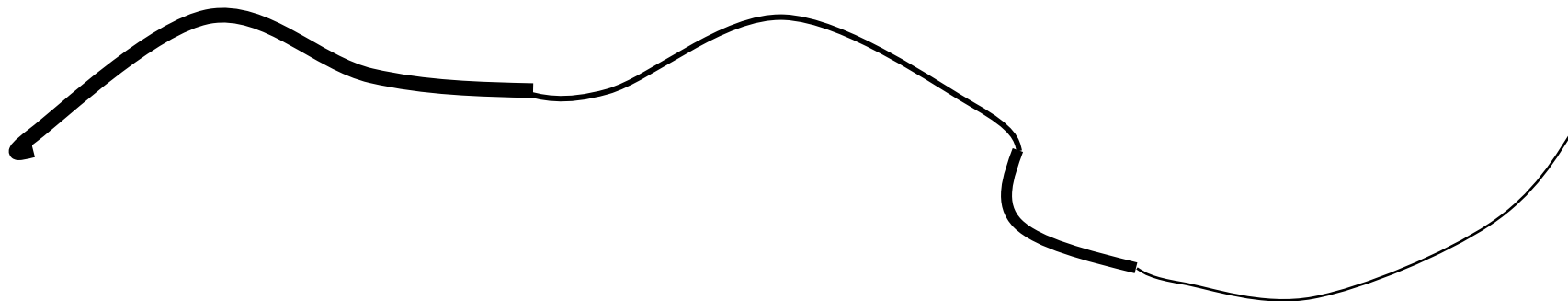
Exemple : Suppression des non-maximums



Méthode de Canny – Algorithme (4)

Double seuillage (Hystérésis)

- 2 seuils : Bas (S_l) et élevé (S_h)
- Amplitude du gradient $> S_h$? = Contour fort
- Amplitude du gradient $< S_l$? = bruit
- Entre les deux : Contour faible
- « Suivi » des contours en débutant sur les pixels de contours forts
- Étendre les contours forts vers les contours faibles



Exemple : Seuillage des contours



Résumé : Méthode de Canny

Étapes principales du filtre de Canny

1. **Filtrer l'image** avec un filtre dérivée de la gaussienne
2. Trouver la **direction** et la **l'amplitude** du gradient
3. **Affinage des contours** (Suppression des non-maximums)
4. **Double seuil** (hystérésis) pour déterminer les arêtes potentielles, et **suivi des bordures par hystérésis**

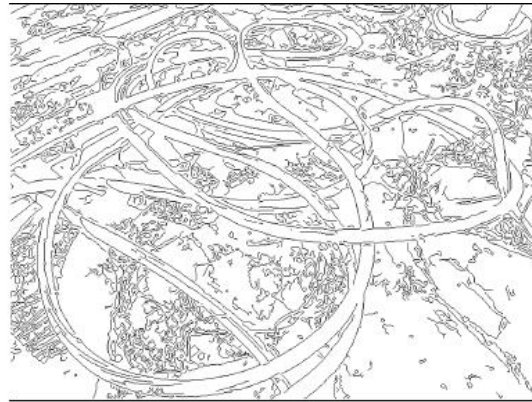


Canny - Résumé

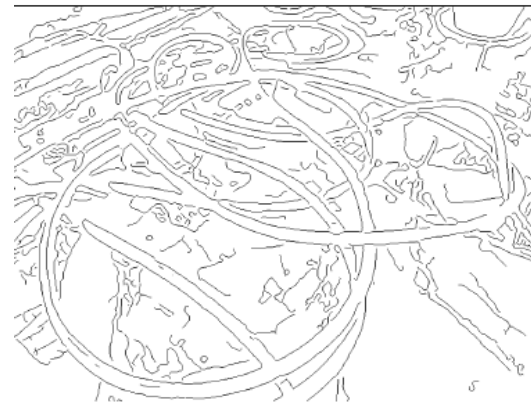
- **1^{er} pipeline de vision par ordinateur !**
- Encore très utilisé
- Dépend de plusieurs paramètres : seuils bas et élevé, σ : taille du filtre gaussien



Original



$\sigma = 1.0$



$\sigma = 2.0$



$\sigma = 4.0$

`skimage.feature.canny` ([Documentation](#))

Détection de courbes simples

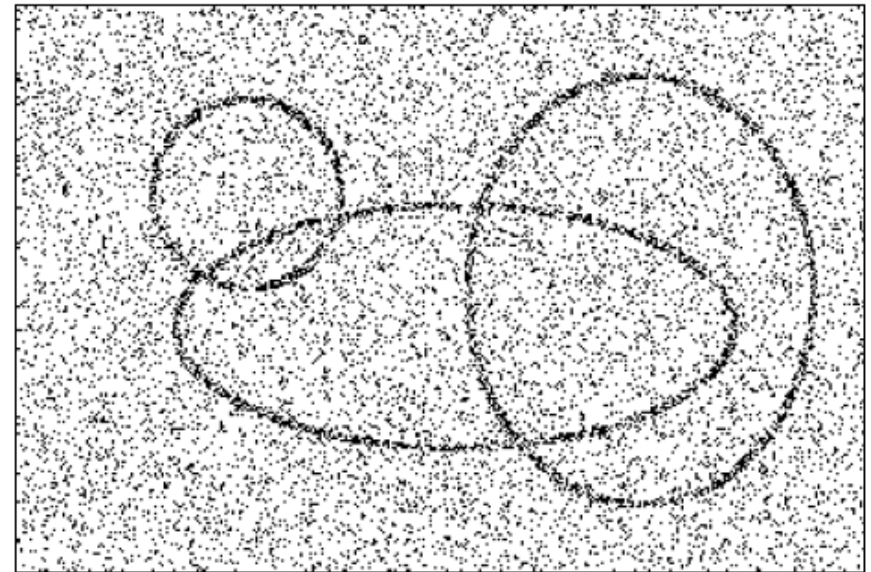
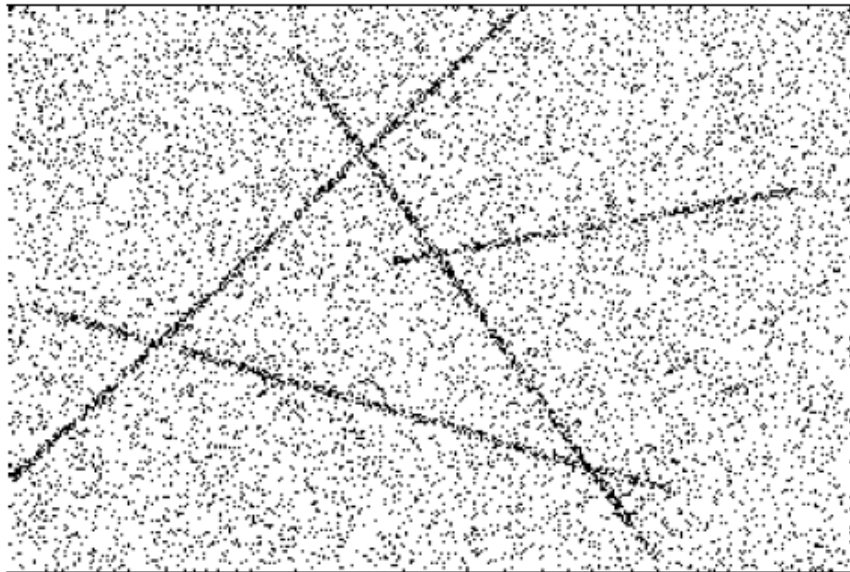
Chapitre 5 : Segmentation (Partie 1)

Joël Lefebvre (UQÀM)

INF600F – Traitement d'images

Détection de courbes

- **Contours détectés** : représentation **incomplète** des frontières présentes dans l'image
- Nécessité de joindre les éléments d'une même frontière
- Très difficile lorsque le niveau de bruit est élevé



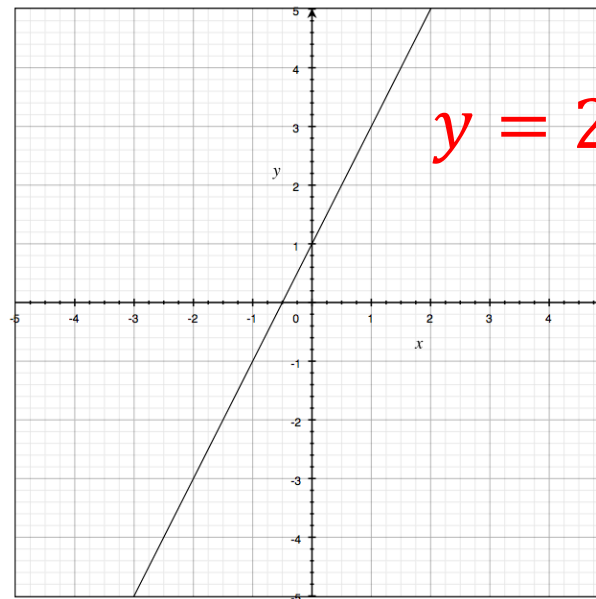
Approches de détection de courbes

- Approche locale
 - Seuillage avec hystérésis (Canny)
 - Méthodes empiriques : amplitude similaire et même angle du gradient
 - Approche par régions (exemple : approximations polygonales)
- Approche globale : **Transformée de Hough**
 - Détection de l'ensemble des points de contour **appartenant à un même objet paramétré**
 - L'objet paramétré peut être un point, **une droite**, une courbe, un cercle, etc.

Paramétrisation d'une droite : Forme Pente / Intersection

$$y = mx + b$$

Où m est la pente et b est l'intersection avec l'axe y



$$y = 2x + 1$$

Quels sont les paramètres de cette ligne ?

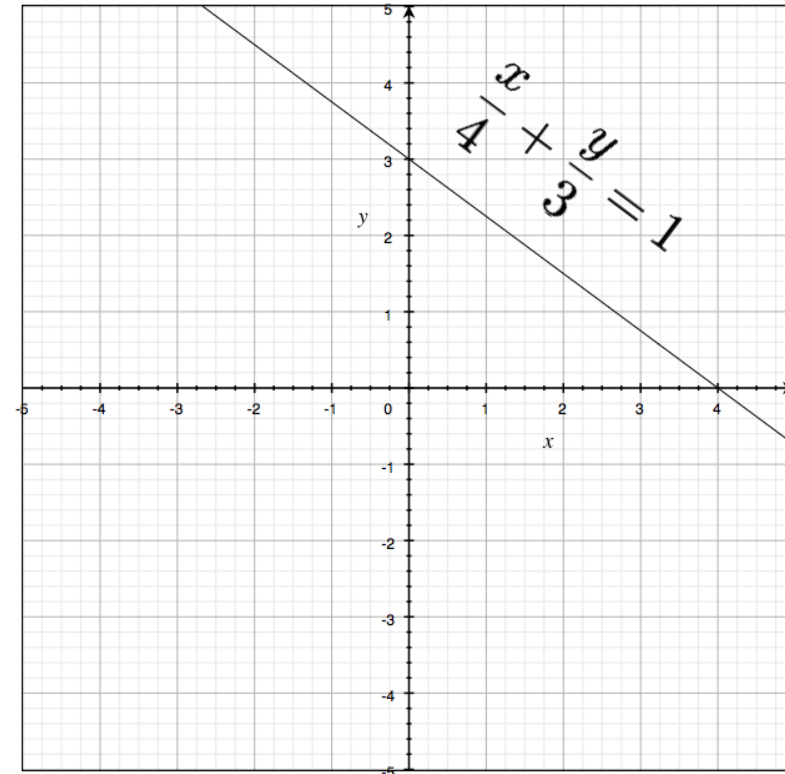
Source : CMU2019

Paramétrisation d'une droite : Forme Double-Intersection

$$\frac{x}{a} + \frac{y}{b} = 1$$

- a est l'intersection avec l'axe x
- b est l'intersection avec l'axe y

Quels sont les
paramètres de
cette ligne?



$(x=0, y=4)$

4	2	0	0	0	0
3		1	0	0	0
2	0	0	1	0	0
$y=1$	0	0	0	1	0
$y=0$	0	0	0	0	1
	$x=0$	1	2	3	4

4	2	0	0
3	0	0	0
2	0	0	0
1	0	0	0
0	0	0	0
	-1	0	1
	m		

$$m = -1, x = 1, y = 3$$

$$b = 3 - (-1)1 = 4$$

$$m = -1, x = 0, y = 4$$

$$\Rightarrow b = y - mx$$

$$4 - (-1)0 = 4$$

$$m = 0, x = 0, y = 4$$

$$b = 4 - 0 \cdot 0 = 4$$

$$m = 1, x = 0, y = 4$$

$$b = 4 - 0 \cdot 1 = 4$$

$$m = 0, \quad X = 1, \quad y = 3$$

$$b = 3 - 0 \cdot 1 = 3$$

Final



5	1	1
0	1	0
0	2	0
0	1	0
0	1	1

$$\Rightarrow y = -x + 4$$

Paramétrisation d'une droite : Forme normale

$$x \cos \theta + y \sin \theta = \rho$$

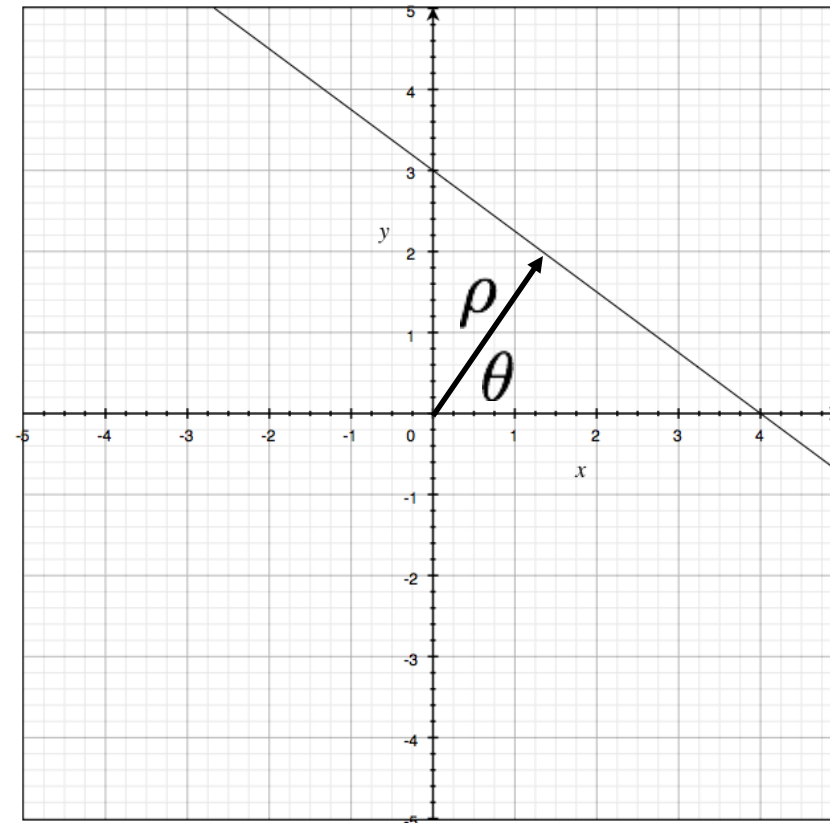
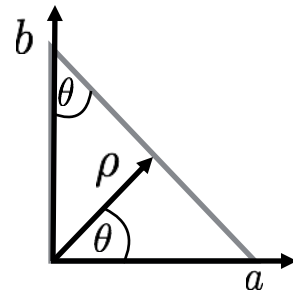
Dérivation :

$$\cos \theta = \frac{\rho}{a} \rightarrow a = \frac{\rho}{\cos \theta}$$

$$\sin \theta = \frac{\rho}{b} \rightarrow b = \frac{\rho}{\sin \theta}$$

Remplacer dans : $\frac{x}{a} + \frac{y}{b} = 1$

On obtient : $x \cos \theta + y \sin \theta = \rho$



Transformée de Hough

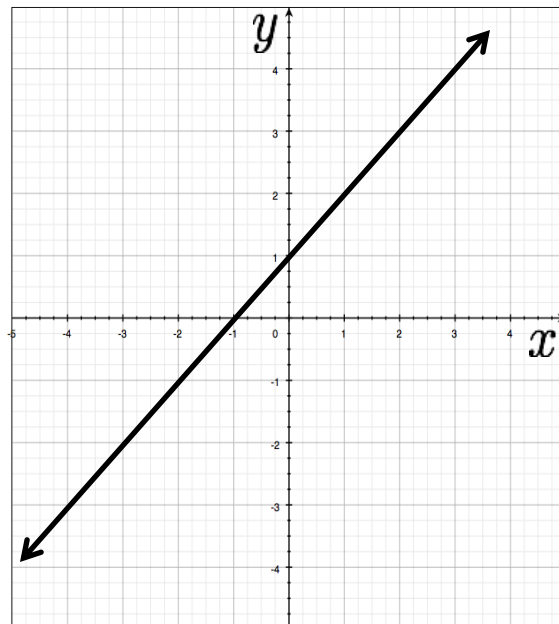
- Détection de l'ensemble des points de contour **appartenant à un même objet paramétré**
- L'objet paramétré peut être un point, une droite, une courbe, un cercle, etc.
- Les contours n'ont pas besoin d'être connectés
- Les droites peuvent être partiellement cachées
- Principe général : les contours **votent** pour les modèles possibles.

Espace image vs paramètre

variables

$$y = mx + b$$

paramètres

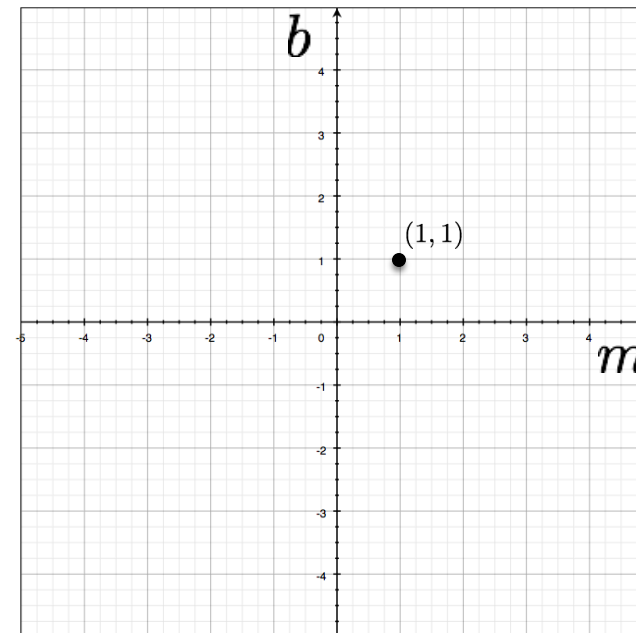


Espace image

variables

$$y - mx = b$$

paramètres



Espace paramètre

Une ligne
devient un
point

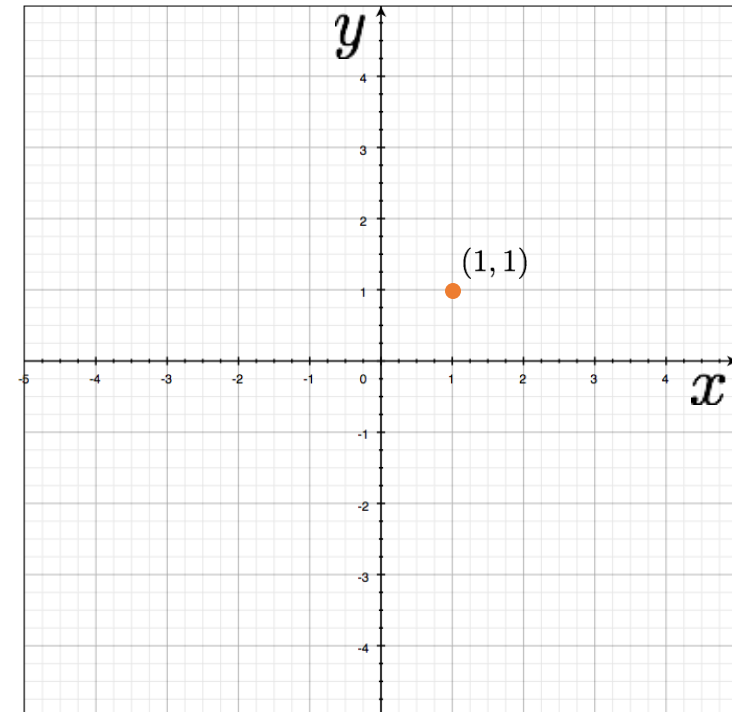
Espaces image et paramètre

- Qu'est-ce que devient un point dans l'espace image lorsque représenté dans l'espace paramètre ?

variables

$$y = mx + b$$

paramètres



Espace image

Espaces image et paramètre (1 point)

variables

$$y = mx + b$$

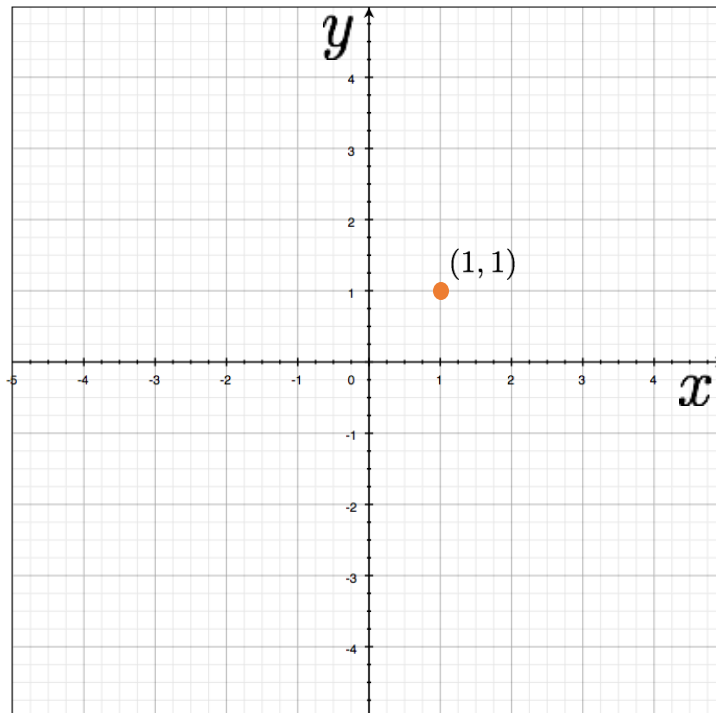
paramètres

variables

$$y - mx = b$$

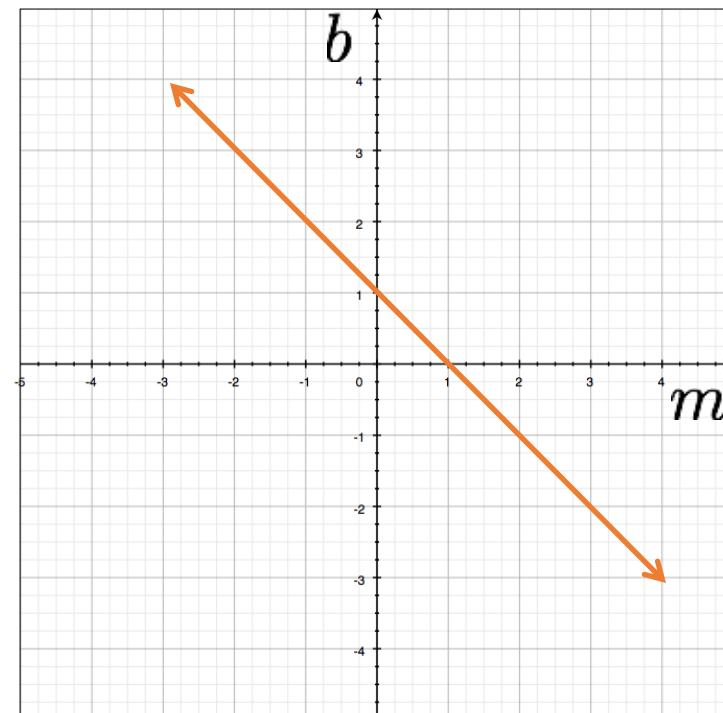
paramètres

Source : CMU2019



Espace image

Un point
devient
une ligne



Espace paramètre

Espaces image et paramètre (2 points)

variables

$$y = mx + b$$

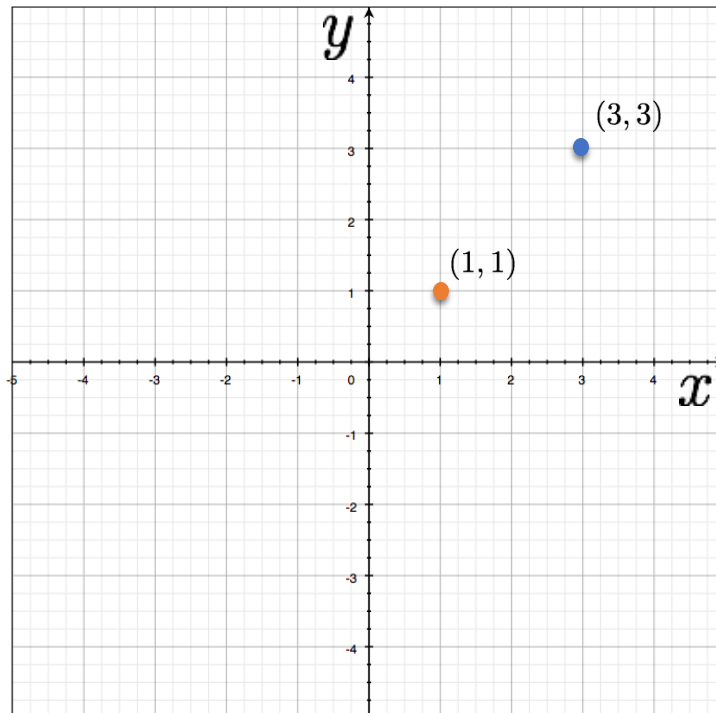
paramètres

variables

$$y - mx = b$$

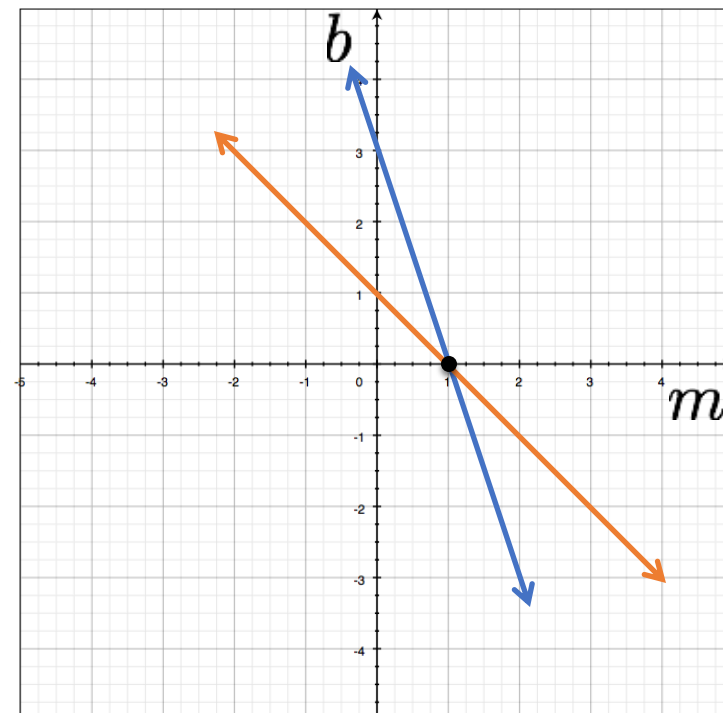
paramètres

Source : CMU2019



Espace image

2 points
deviennent
?



Espace paramètre

Espaces image et paramètre (3 points)

variables

$$y = mx + b$$

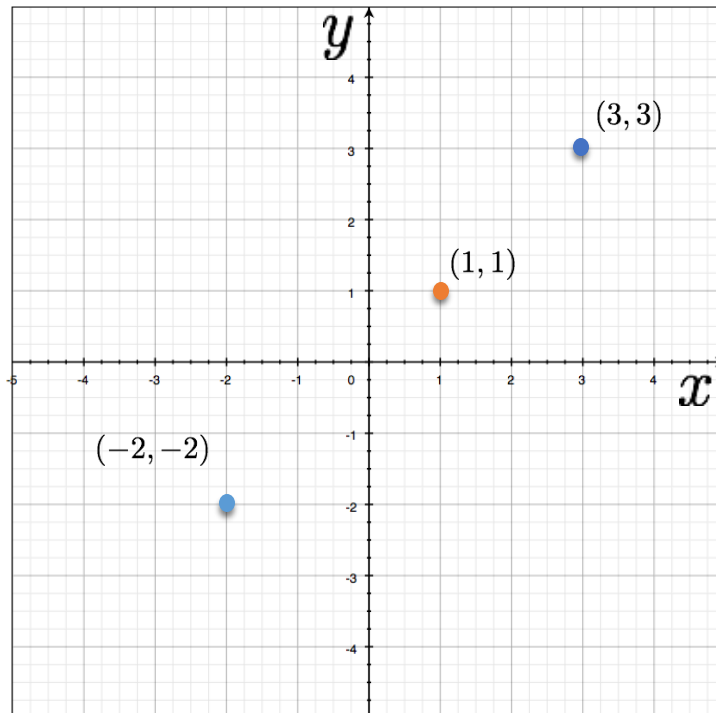
paramètres

variables

$$y - mx = b$$

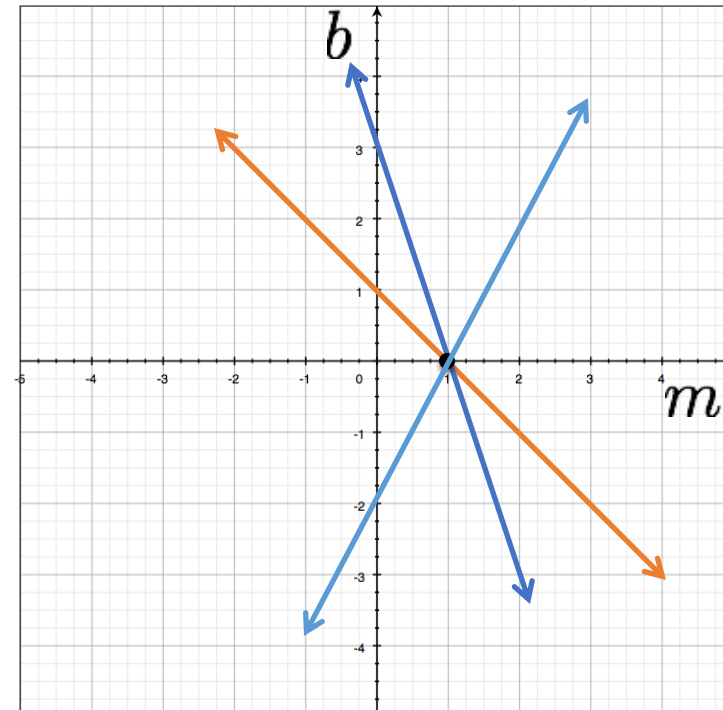
paramètres

Source : CMU2019



Espace image

3 points
deviennent
?



Espace paramètres

Espaces image et paramètre (4 points)

variables

$$y = mx + b$$

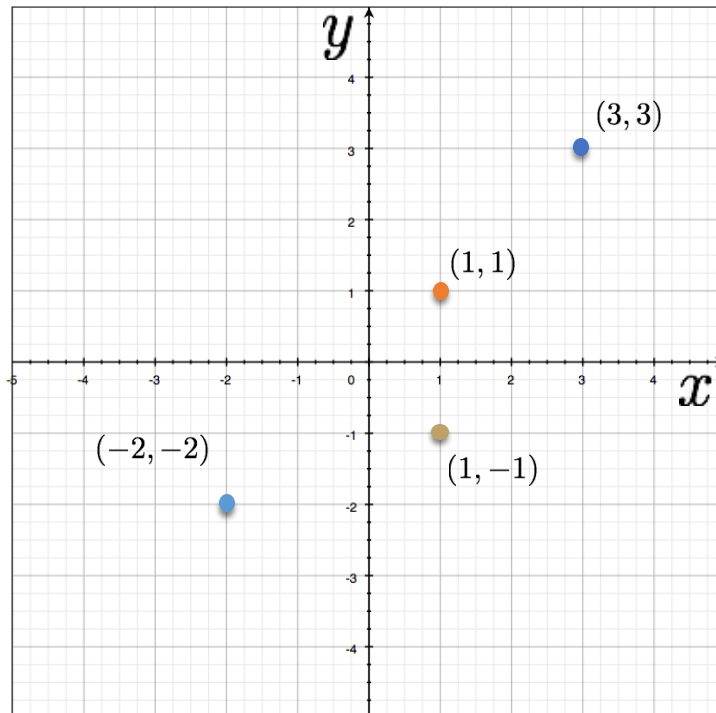
paramètres

variables

$$y - mx = b$$

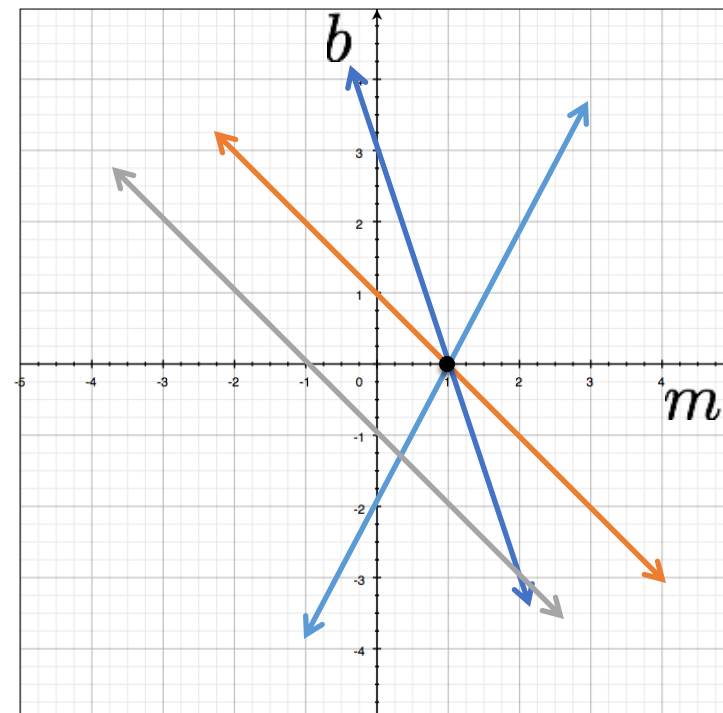
paramètres

Source : CMU2019



Espace image

4 points
deviennent
?

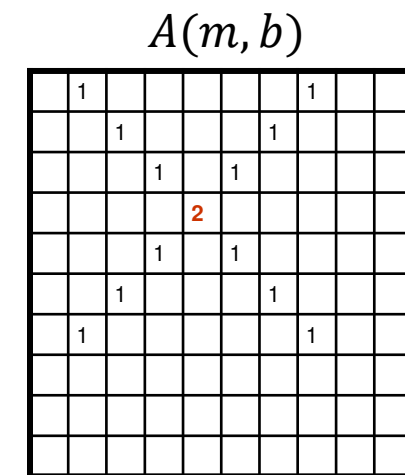
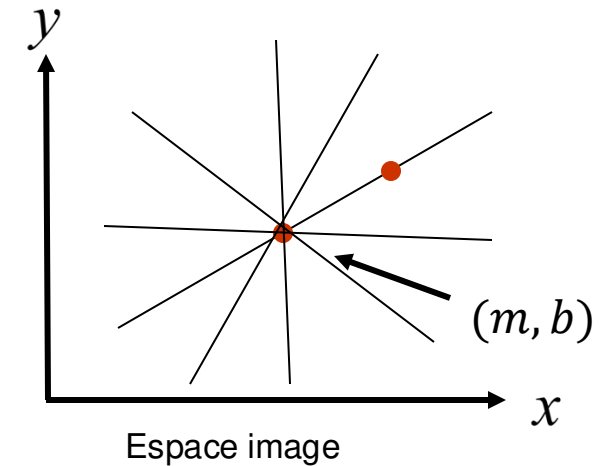


Espace paramètres

Algorithme pour la transformée de Hough

Algorithme (Forme $y = mx + b$)

- Discrétiser l'espace paramètre (m, b)
- Créer une matrice d'accumulation $A(m, b)$
- Initialiser $A(m, b) = 0 \forall m, b$
- Pour chaque pixel de contours (x_i, y_i)
 - Pour chaque élément de $A(m, b)$
 - si (m, b) sur une ligne: $b = -x_i m + y_i$
 - Ajouter $A(m, b) = A(m, b) + 1$
- Trouver les maximums locaux $A(m, b)$



Problème avec la paramétrisation ?

- Quelle taille doit avoir l'accumulateur pour la paramétrisation (m,b) ?

$A(m,c)$

	1						1		
		1					1		
			1			1			
				2					
			1			1			
		1					1		
	1							1	

L'espace de m est
gigantesque !
 $-\infty \leq m \leq \infty$

L'espace de b est
gigantesque !
 $-\infty \leq b \leq \infty$

Source : CMU2019

Meilleure paramétrisation : Forme normale

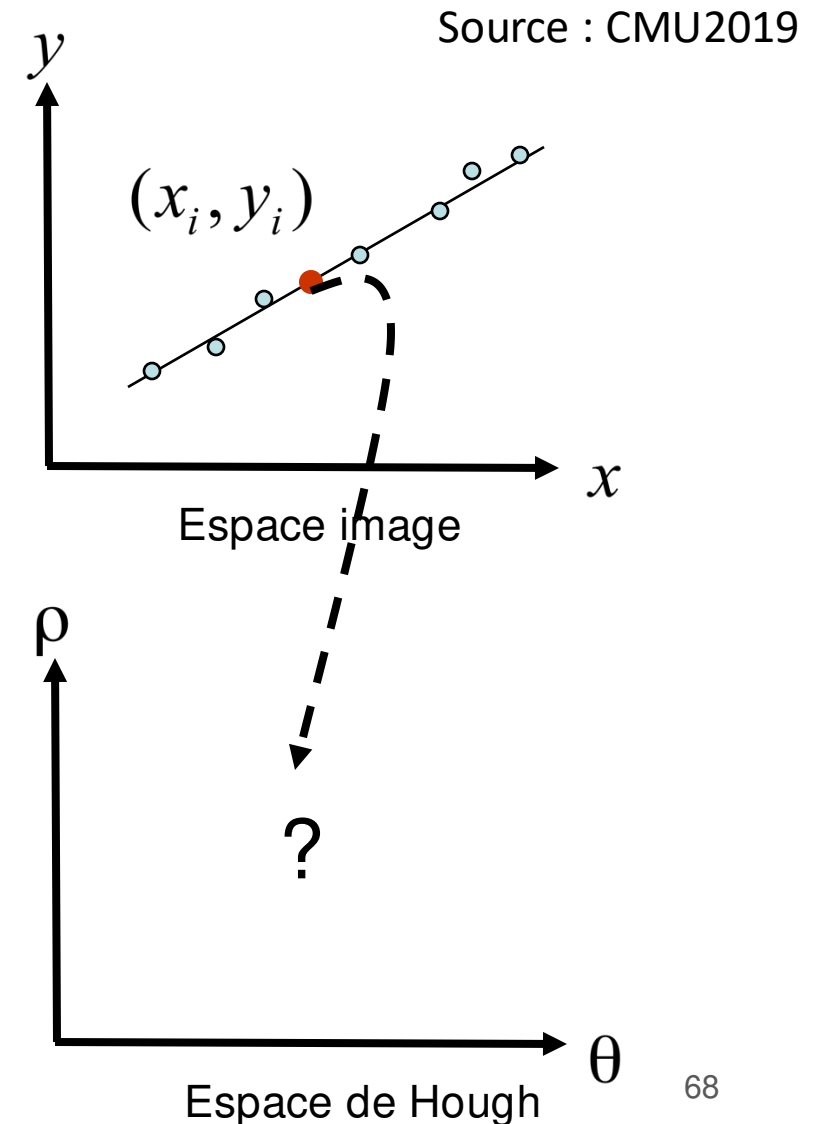
$$x \cos \theta + y \sin \theta = \rho$$

Étant donné un point (x_i, y_i) , il faut trouver les paramètres (ρ, θ)

Espace sinusoïdal de Hough

$$0 \leq \theta \leq 2\pi$$
$$0 \leq \rho \leq \rho_{\max}$$

(Matrice accumulatrice de taille finie)



Espaces image et paramètre (1 point)

Source : CMU2019

variables

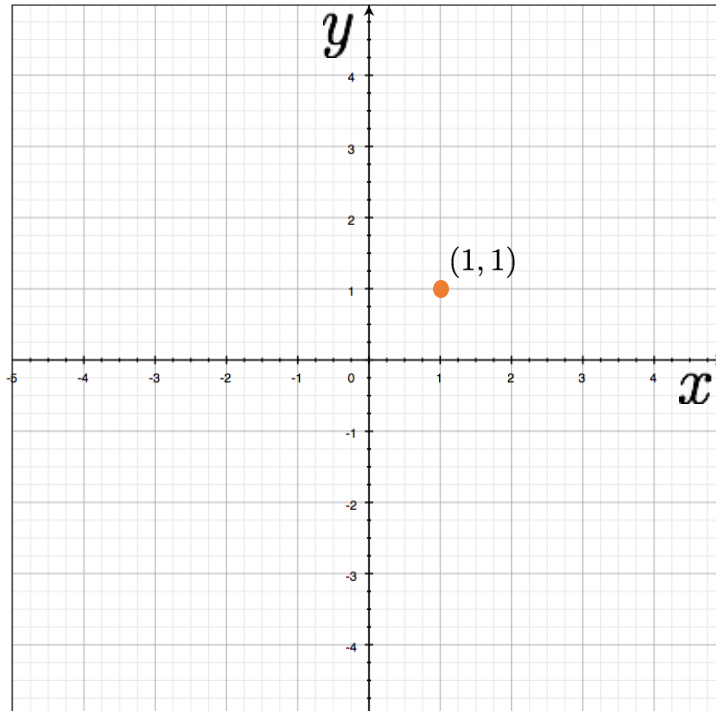
$$y = mx + b$$

paramètres

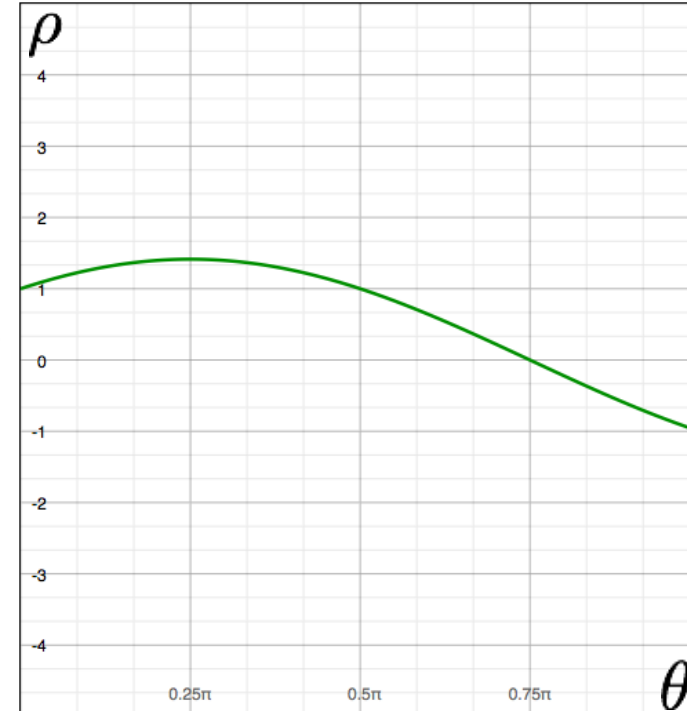
paramètres

$$x \cos \theta + y \sin \theta = \rho$$

variables



Espace image



Espace paramètre

Espaces image et paramètre (1)

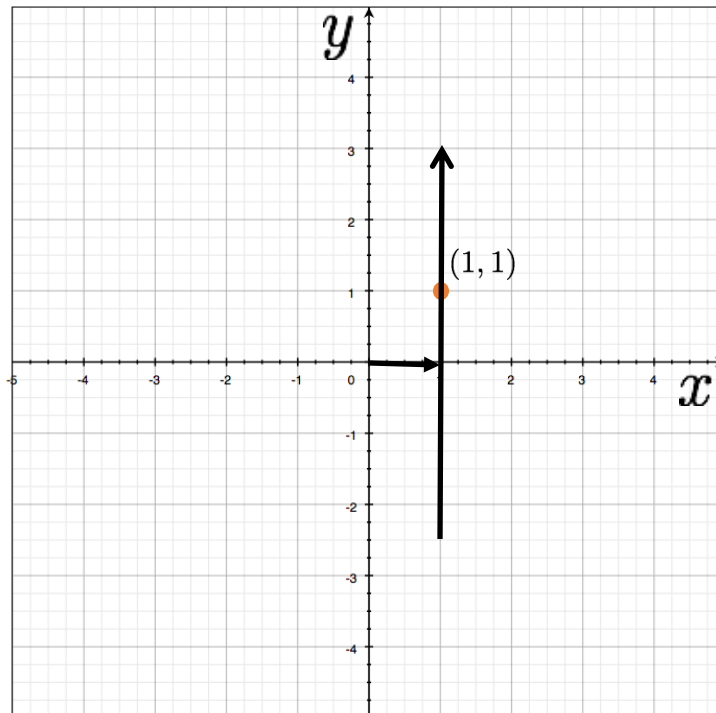
Source : CMU2019

variables

$$y = mx + b$$

paramètres

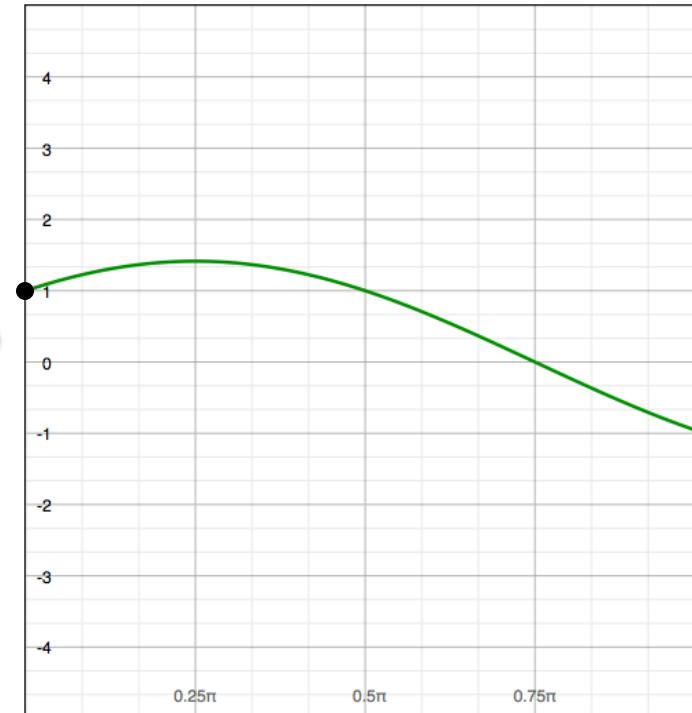
$$x \cos \theta + y \sin \theta = \rho$$



Espace image



Un point



Espace paramètre

Espaces image et paramètre (2)

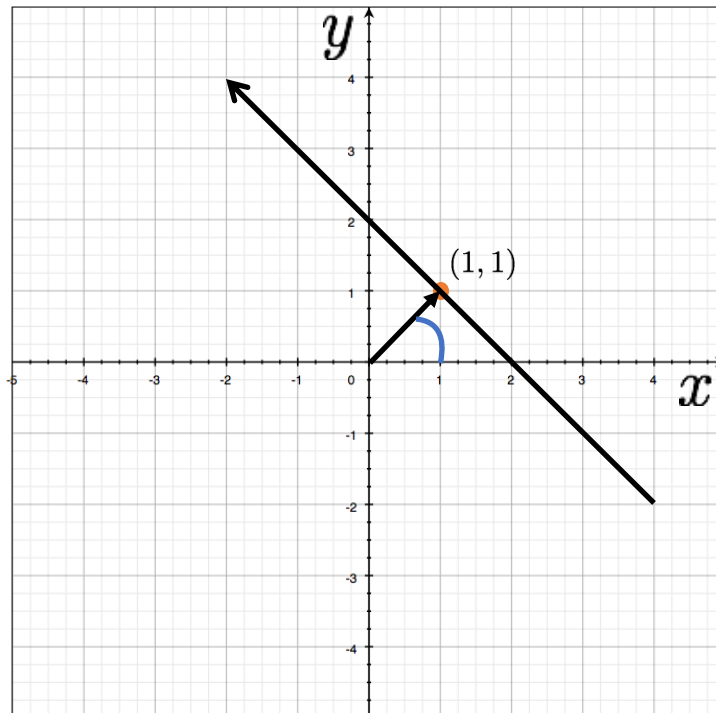
Source : CMU2019

variables

$$y = mx + b$$

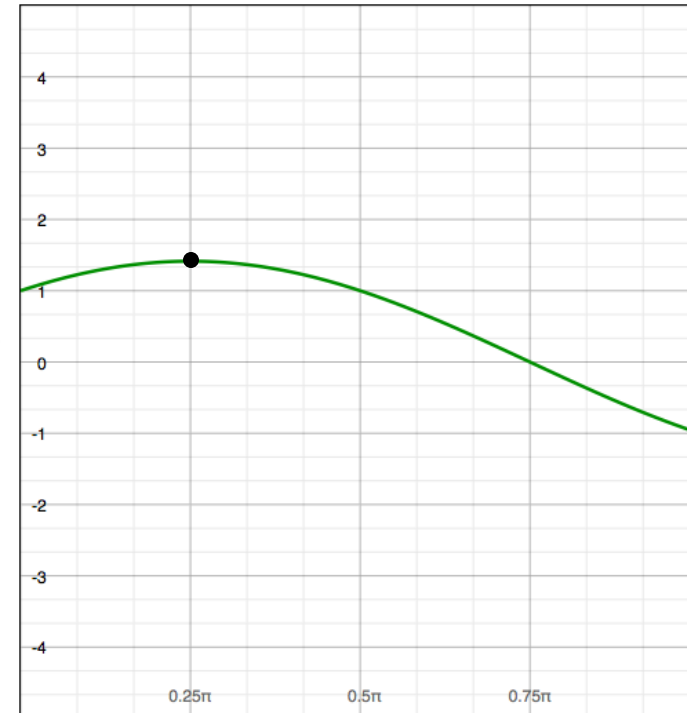
paramètres

$$x \cos \theta + y \sin \theta = \rho$$



Espace image

Une ligne
devient un
point



Espace paramètre

Espaces image et paramètre (3)

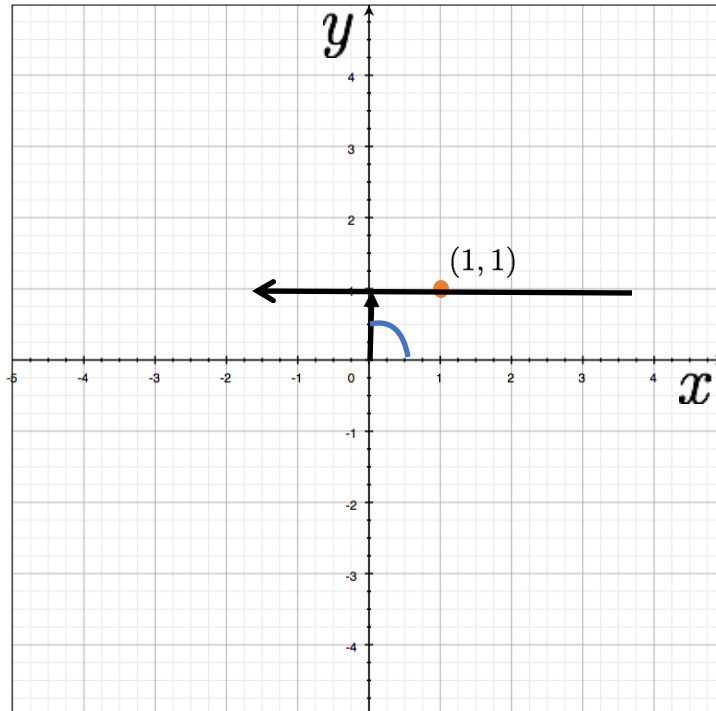
Source : CMU2019

variables

$$y = mx + b$$

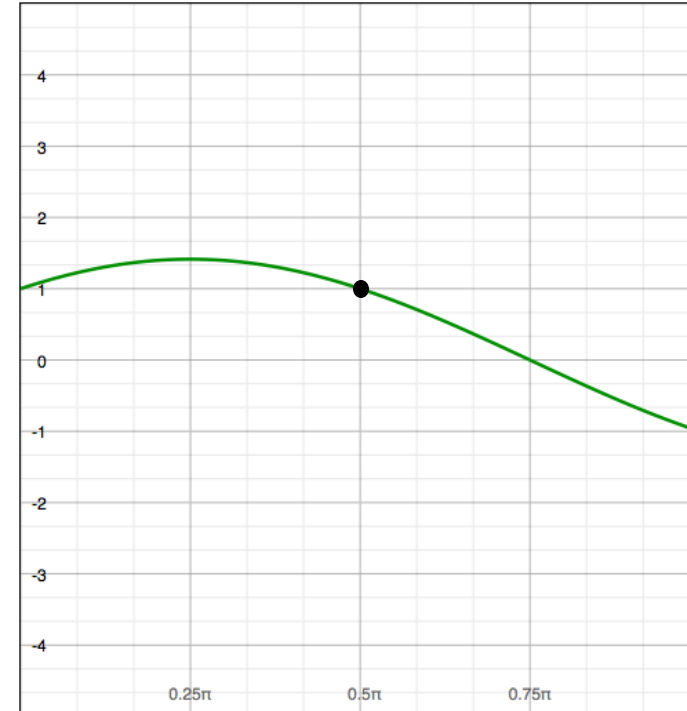
paramètres

$$x \cos \theta + y \sin \theta = \rho$$



Espace image

Une ligne
devient un
point



Espace paramètre

Espaces image et paramètre (4)

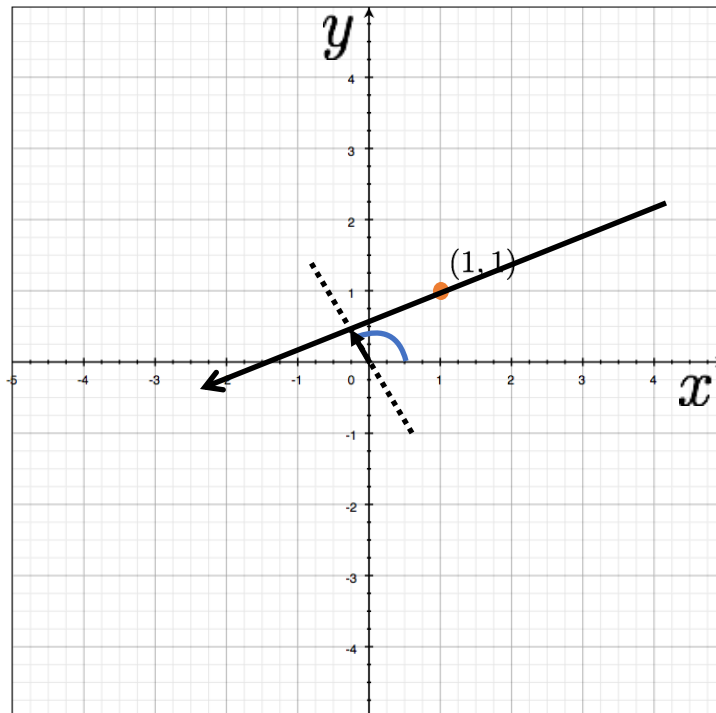
Source : CMU2019

variables

$$y = mx + b$$

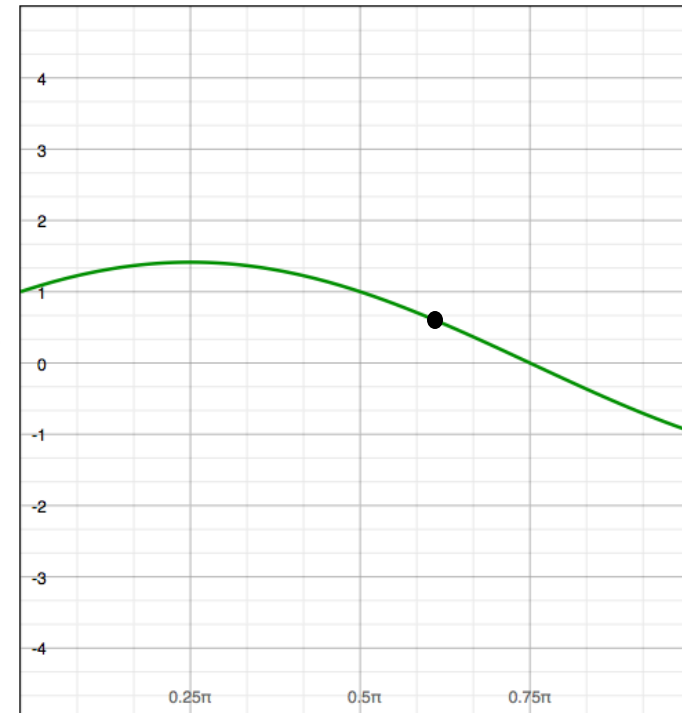
paramètres

$$x \cos \theta + y \sin \theta = \rho$$



Espace image

Une ligne
devient un
point



Espace paramètre

Espaces image et paramètre (5)

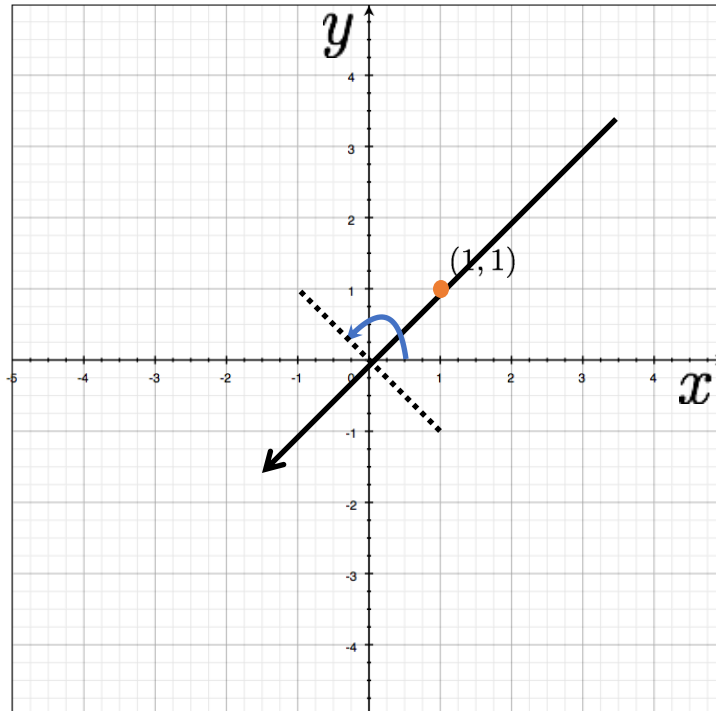
Source : CMU2019

variables

$$y = mx + b$$

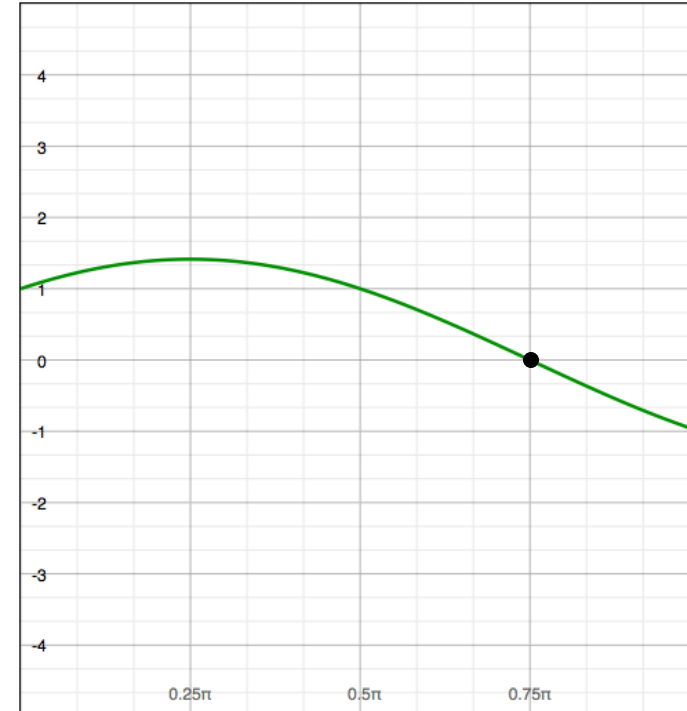
paramètres

$$x \cos \theta + y \sin \theta = \rho$$



Espace image

Une ligne
devient un
point



Espace paramètre

Espaces image et paramètre (6)

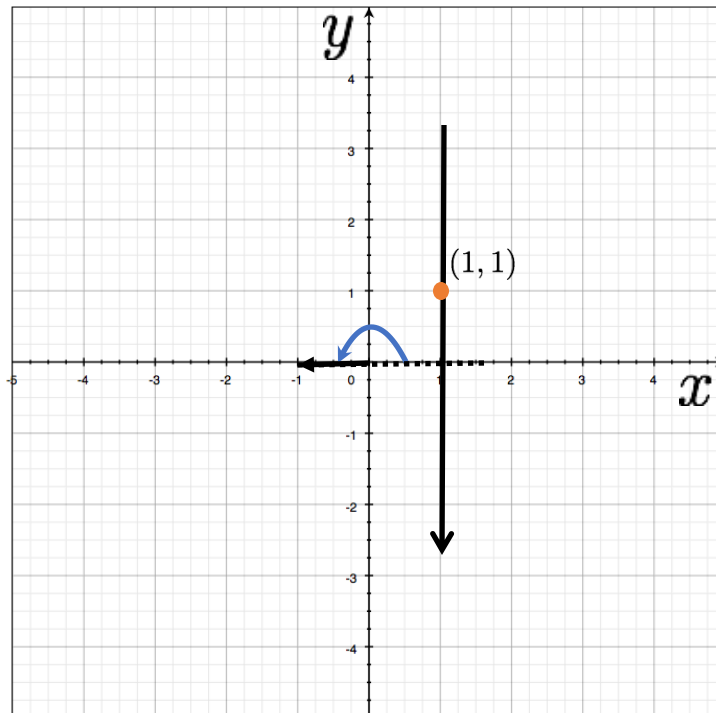
Source : CMU2019

variables

$$y = mx + b$$

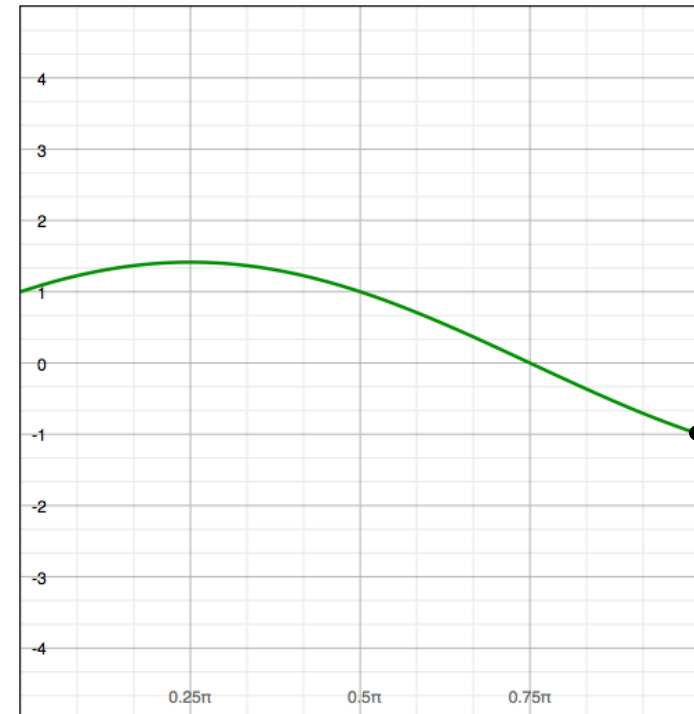
paramètres

$$x \cos \theta + y \sin \theta = \rho$$



Espace image

Une ligne
devient un
point



Espace paramètre

Espaces image et paramètre

Source : CMU2019

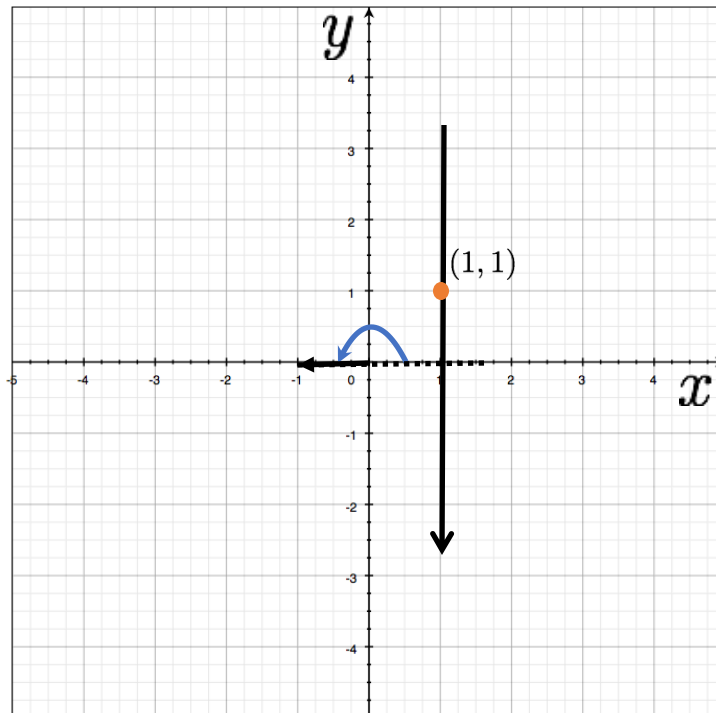
variables

$$y = mx + b$$

paramètres

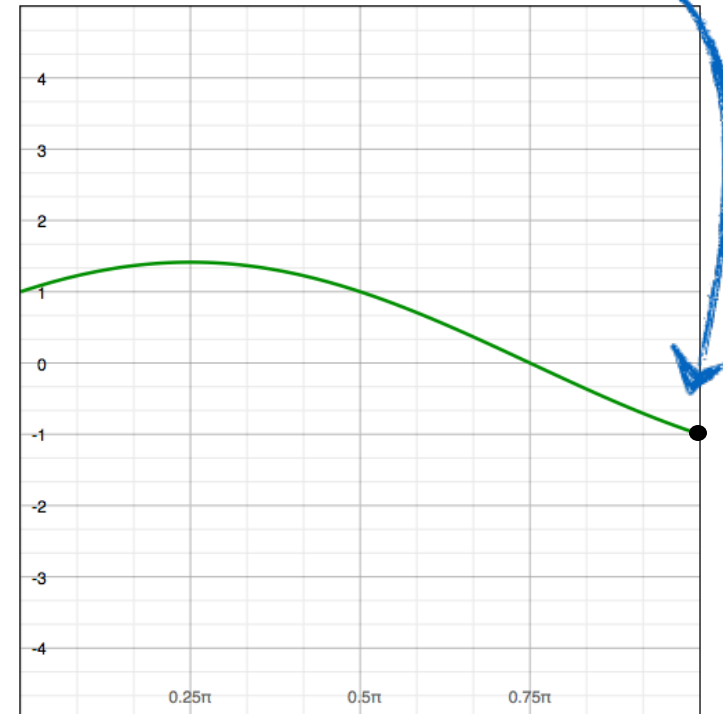
$$x \cos \theta + y \sin \theta = \rho$$

Pourquoi est-ce que rho est négatif ?



Espace image

Une ligne devient un point



Espace paramètre

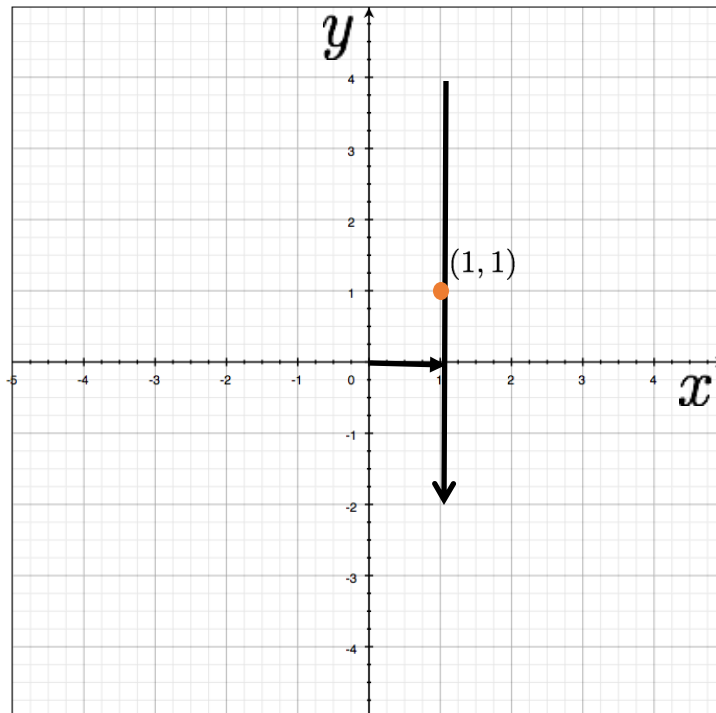
Espaces image et paramètre

Source : CMU2019

variables

$$y = mx + b$$

paramètres



Espace image

$$x \cos \theta + y \sin \theta = \rho$$

Une ligne
devient un
point



Espace paramètre

Rayons négatifs

- Il y a 2 façons de décrire la même ligne

- Version positive de ρ

$$x \cos \theta + y \sin \theta = \rho$$

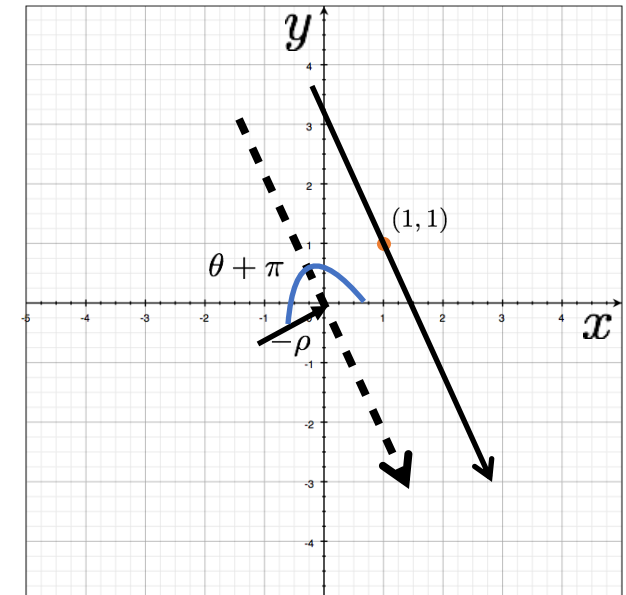
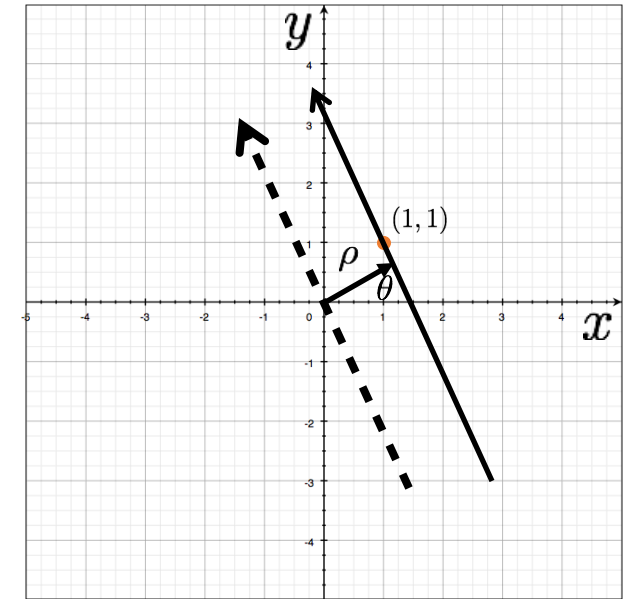
- Version négative de ρ

$$x \cos(\theta + \pi) + y \sin(\theta + \pi) = -\rho$$

Rappel

$$\sin(\theta) = -\sin(\theta + \pi)$$

$$\cos(\theta) = -\cos(\theta + \pi)$$



Espaces image et paramètre (1 point)

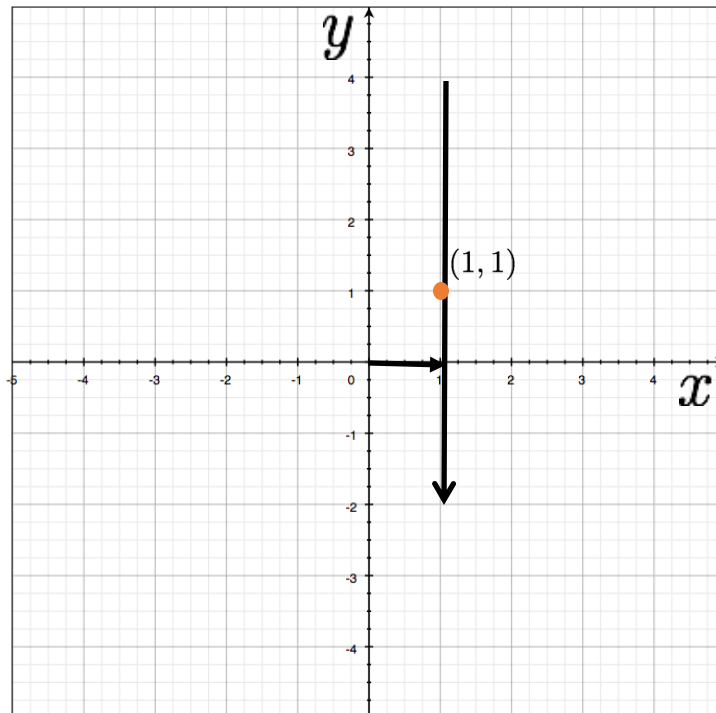
Source : CMU2019

variables

$$y = mx + b$$

paramètres

$$x \cos \theta + y \sin \theta = \rho$$



Espace image

Une ligne
devient un
point



Espace paramètre

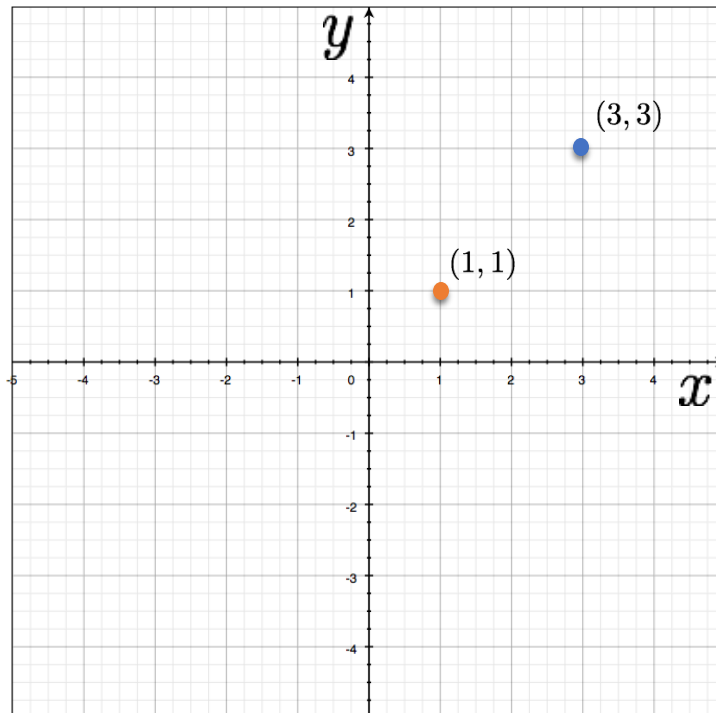
Espaces image et paramètre (2 points)

variables

$$y = mx + b$$

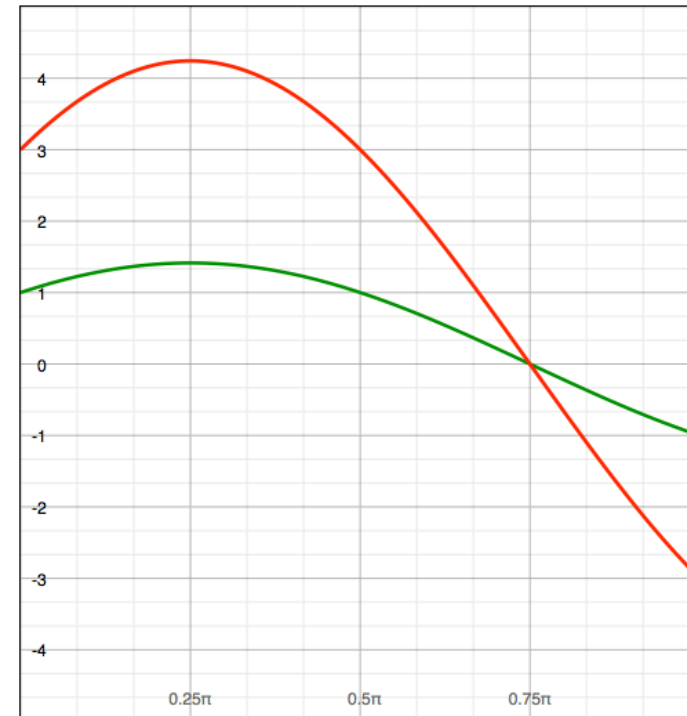
Paramètres

Source : CMU2019



Espace image

2 points
deviennent
?



Espace paramètre

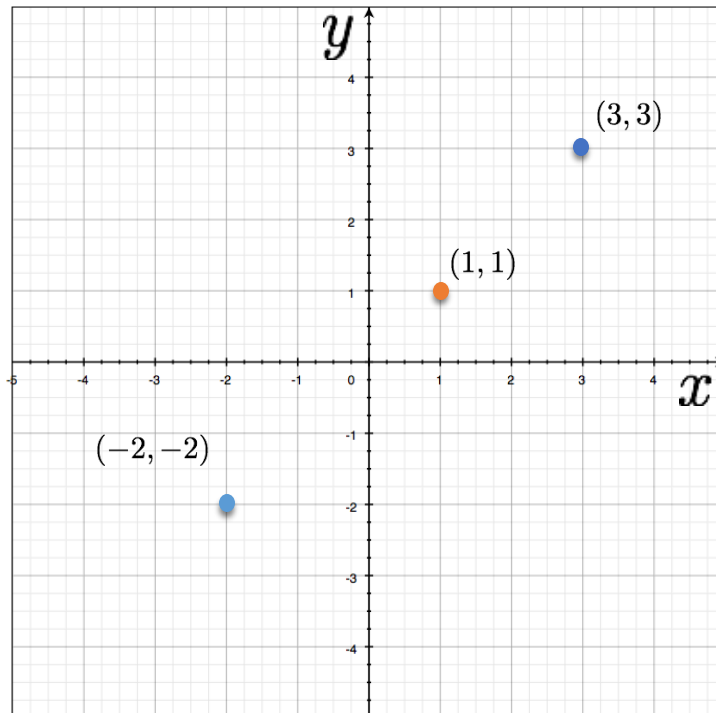
Espaces image et paramètre (3 points)

$$y = mx + b$$

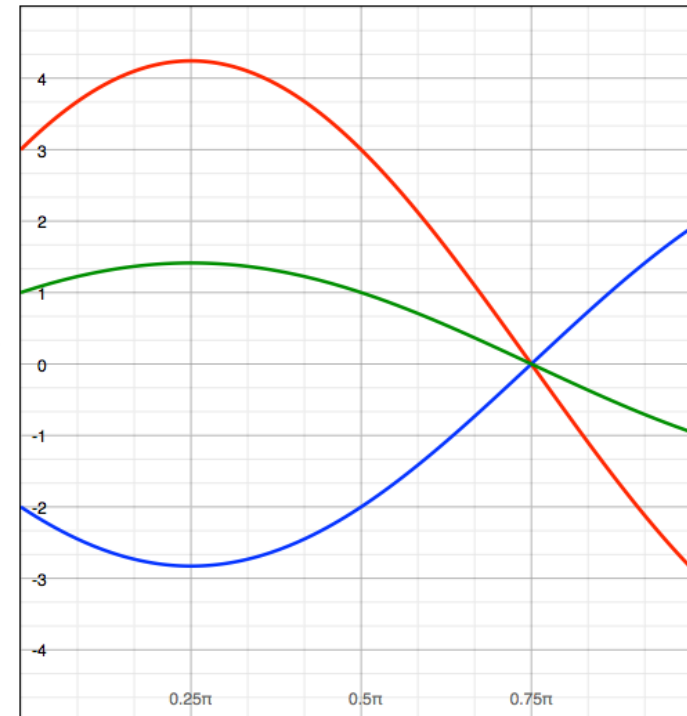
variables

paramètres

Source : CMU2019



Espace image



Espace paramètre

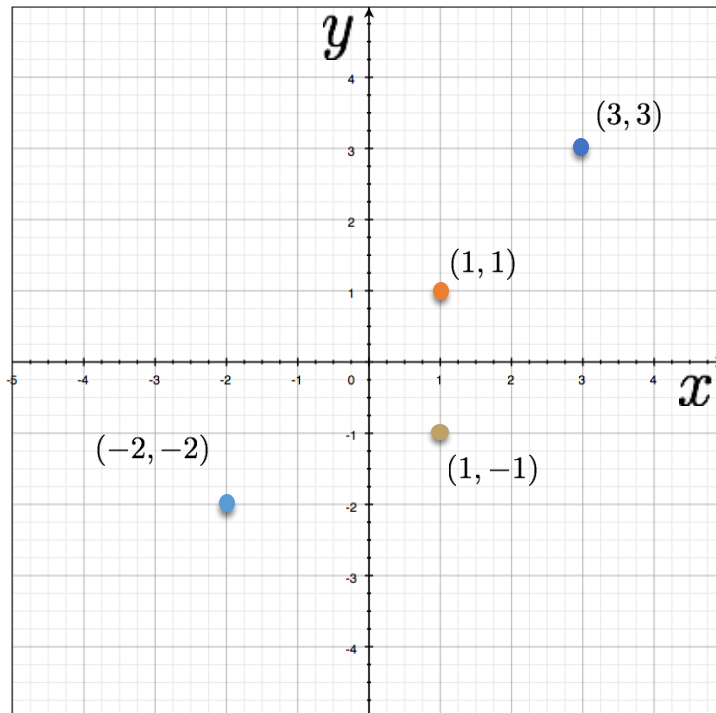
Espaces image et paramètre (4 points)

variables

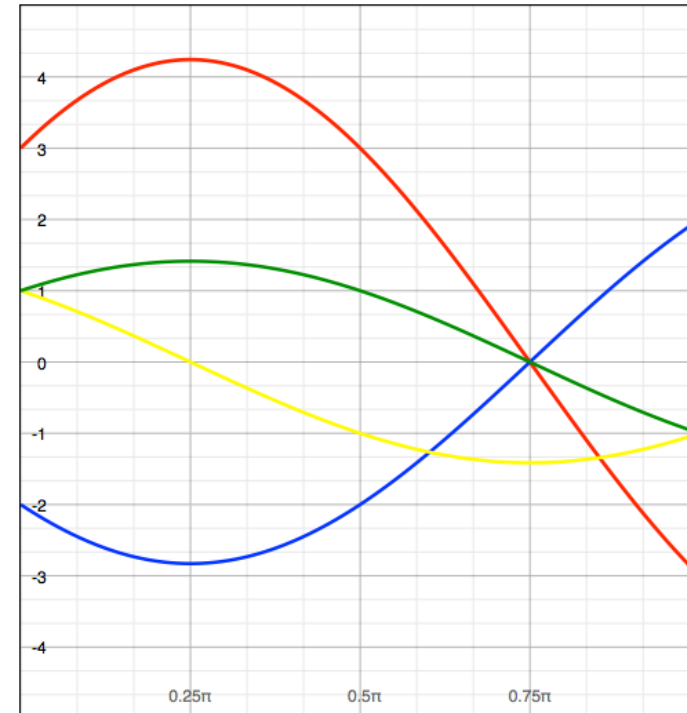
$$y = mx + b$$

paramètres

Source : CMU2019



Espace image

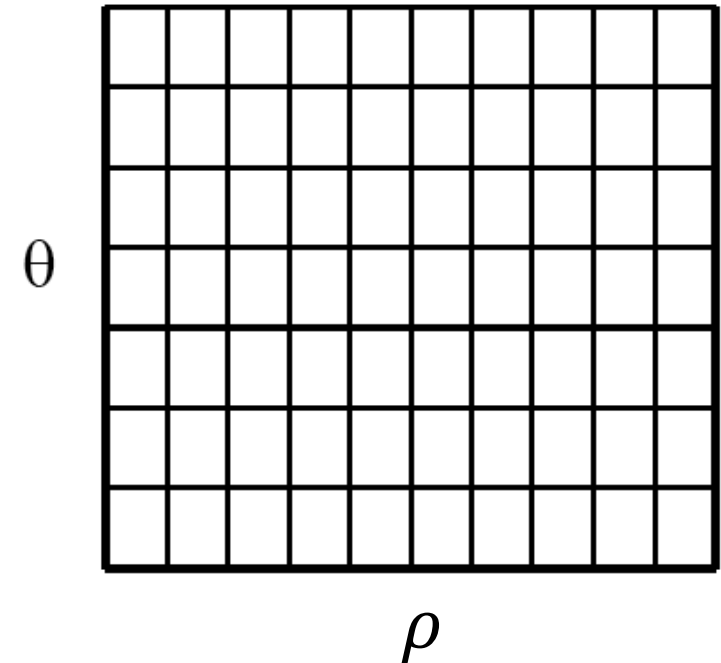


Espace paramètre

Implémentation

1. Initialiser l'accumulateur $H(\rho, \theta)$ à zéro
2. Pour chaque pixel de contour (x, y) de l'image
 - Pour $\theta = 0$ à 180
 - $\rho = x \cos \theta + y \sin \theta$
 - $H(\rho, \theta) = H(\rho, \theta) + 1$
 - fin
- fin
3. Trouver les valeurs de (ρ, θ) où $H(\rho, \theta)$ est un maximum local
4. La ligne détectée dans l'image est donnée par :
 - $\rho = x \cos \theta + y \sin \theta$

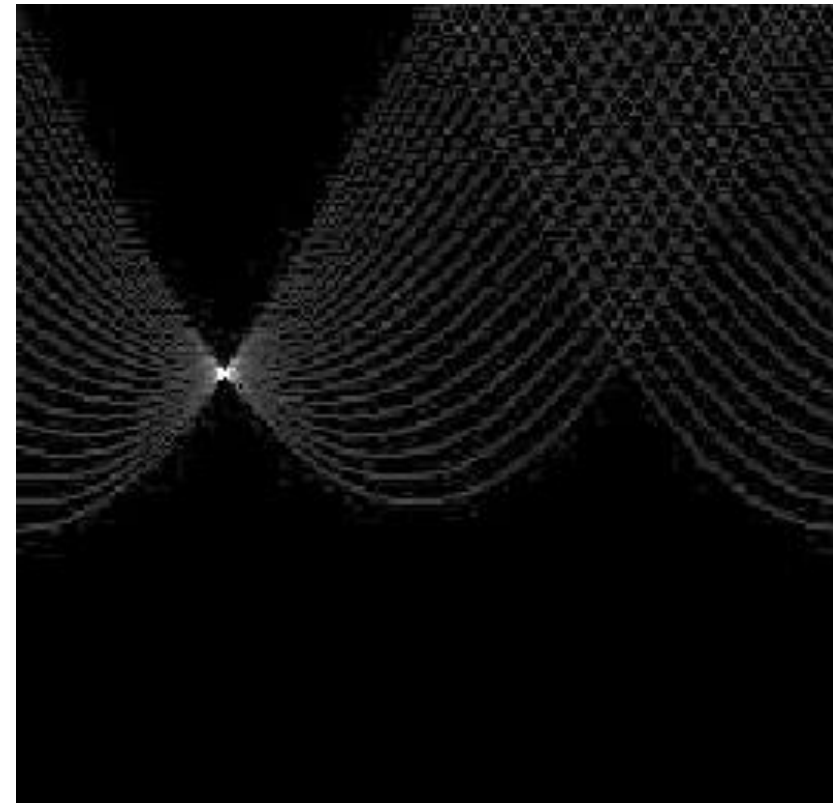
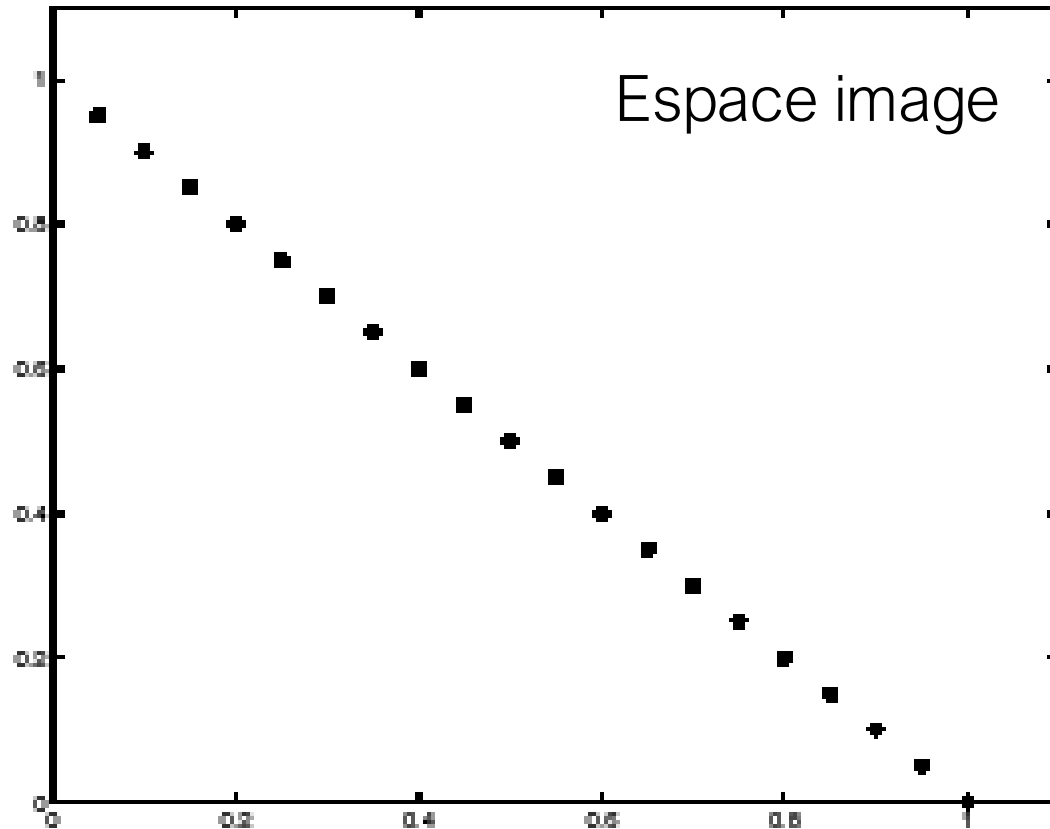
H: accumulator array (votes)



Note : Attention aux coordonnées. L'origine de l'image est en haut à gauche.

Python et transformée de Hough

- `skimage.transform.hough_line` ([Documentation](#))

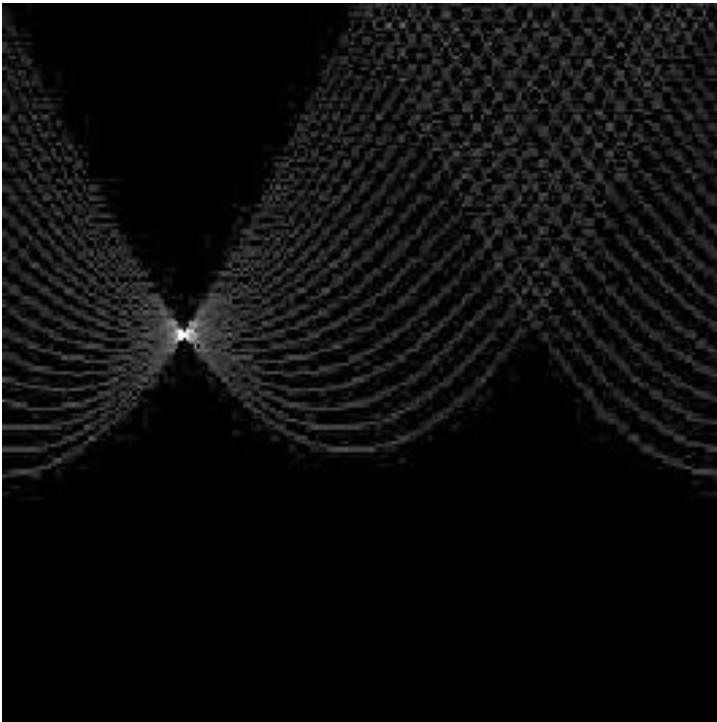


Votes

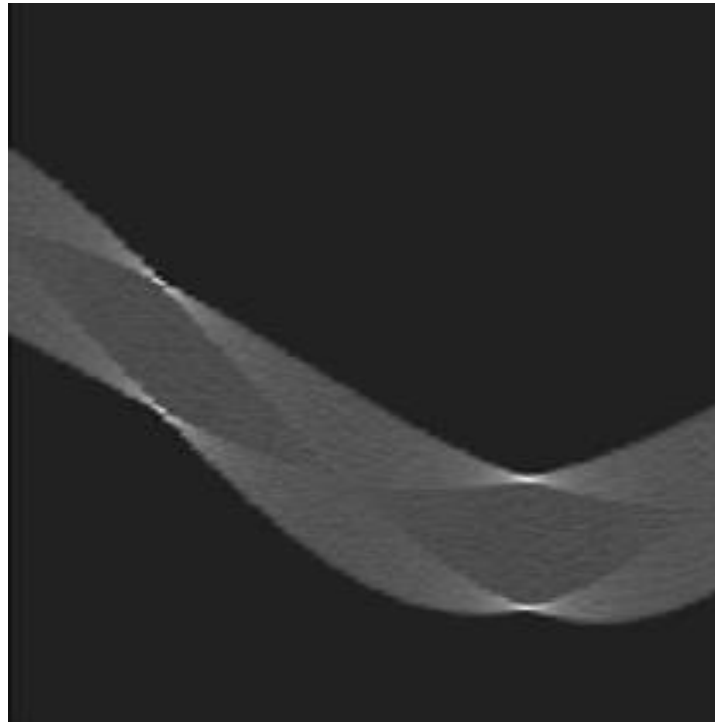
Formes de base (dans l'espace paramètre)

- Quels sont les objets représentés ?

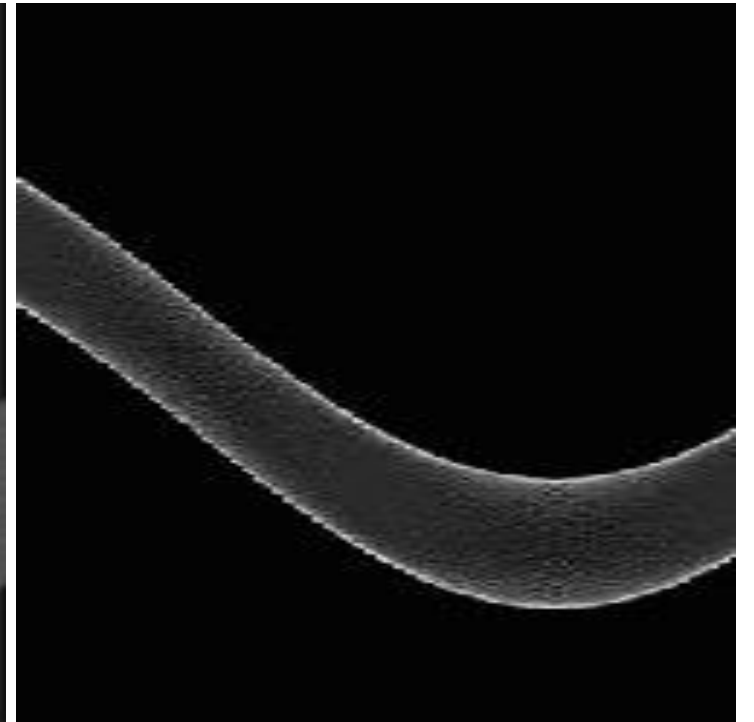
Source : CMU2019



Ligne



Rectangle



Cercle

Transformée de Hough d'une ligne

Formes de base

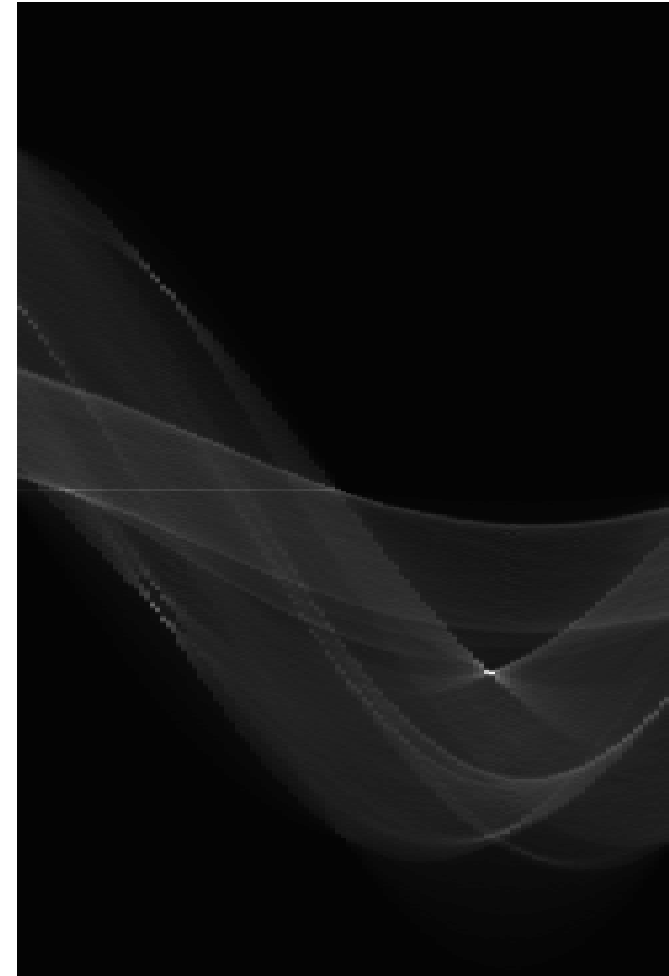
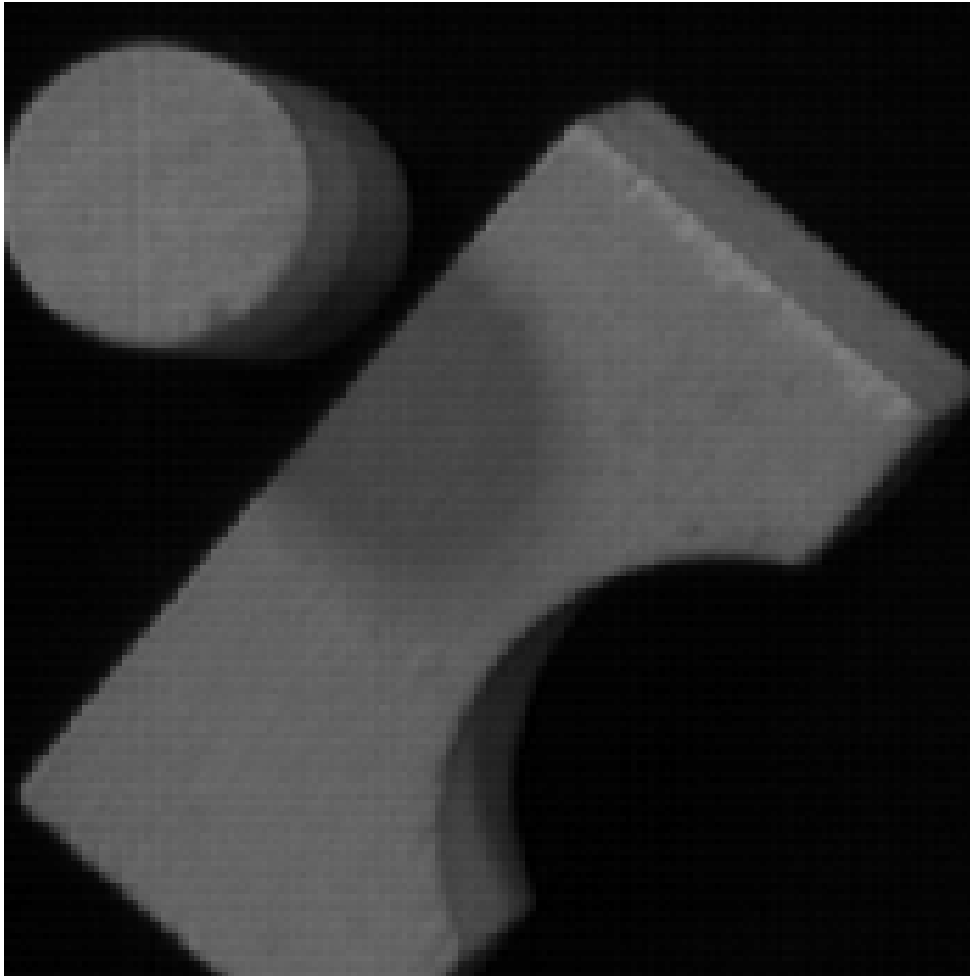
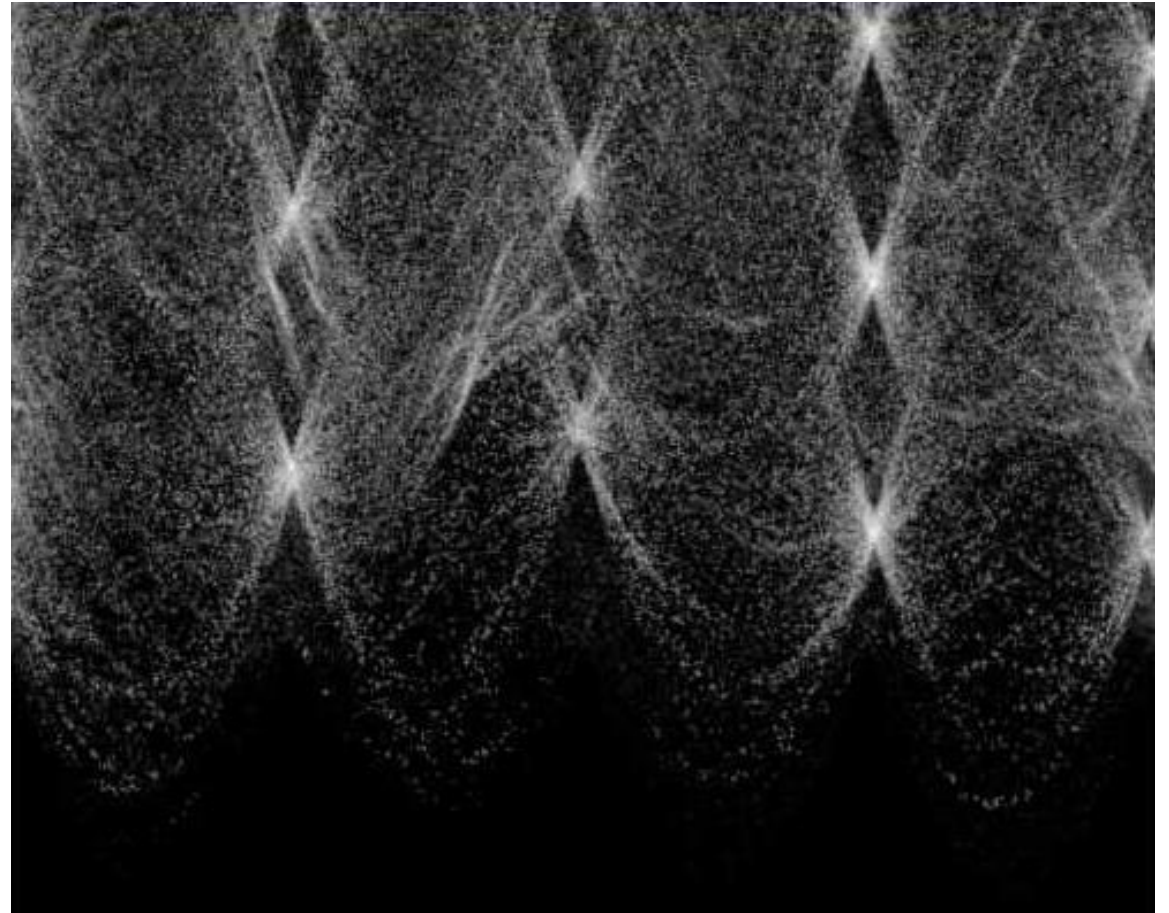
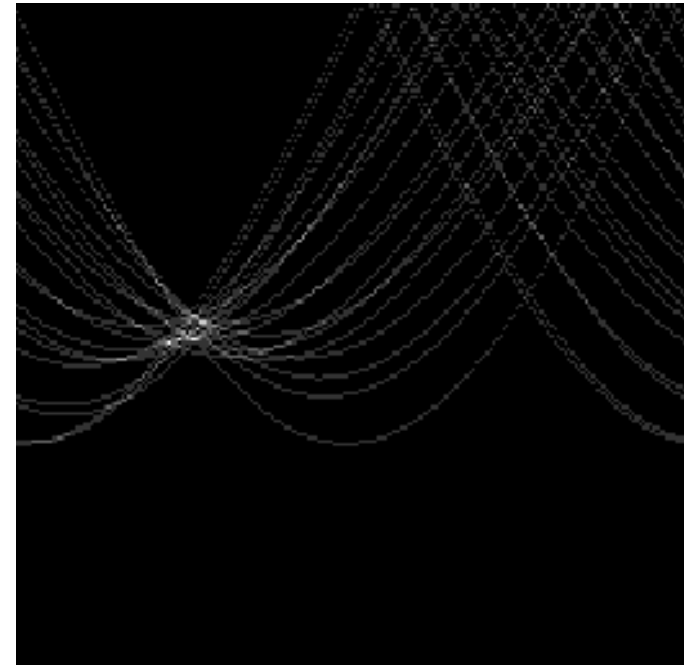
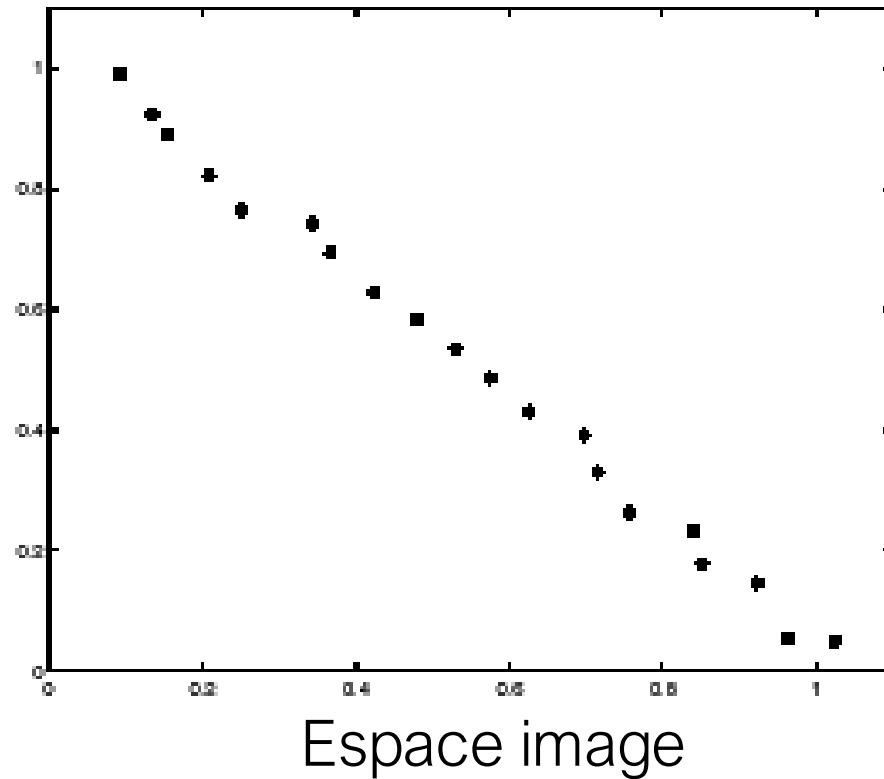


Image plus complexe



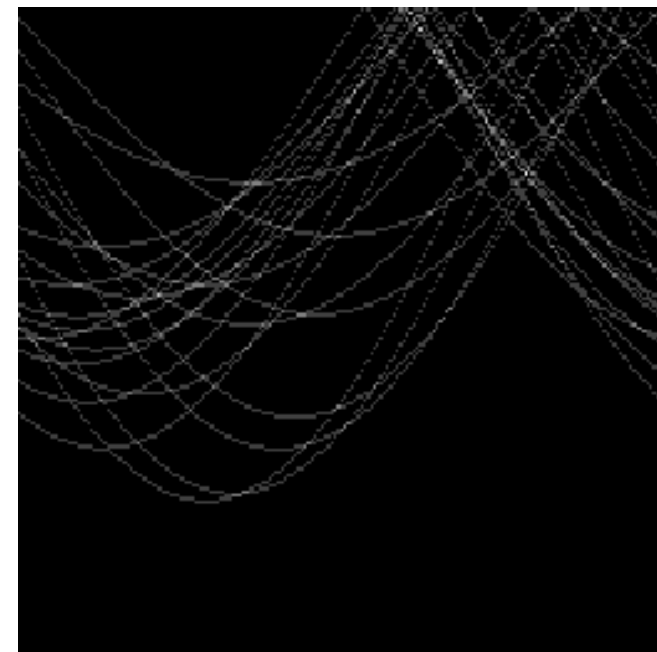
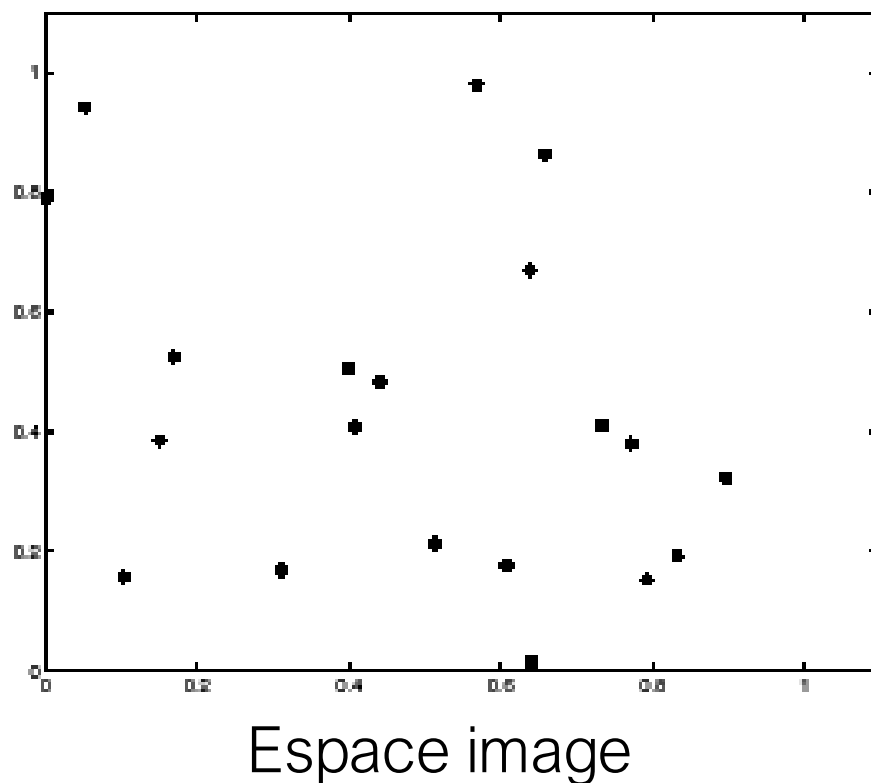
En pratique, les mesures sont bruitées



Votes

Ici, il y a trop de bruit...

- Plus le bruit augmente, et moins il y aura de votes pour la droite à extraire.

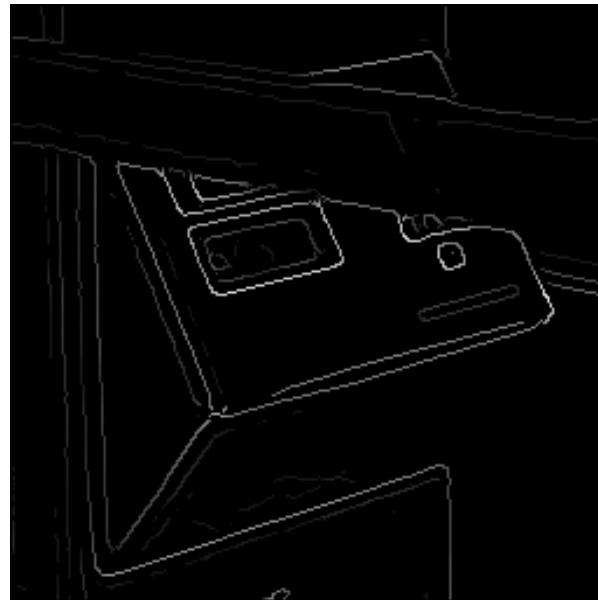


Source : CMU2019

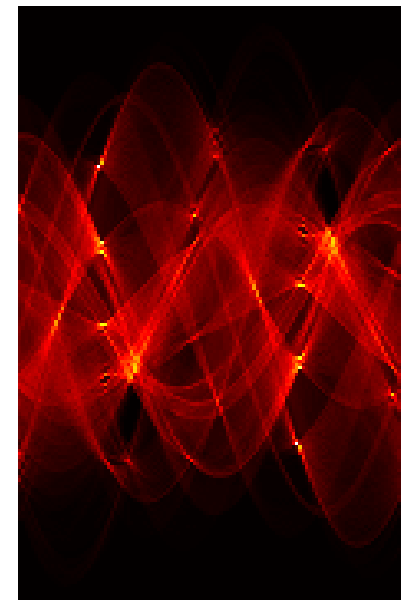
Exemple d'application de la transformée de Hough : Détection d'un objet rectangulaire



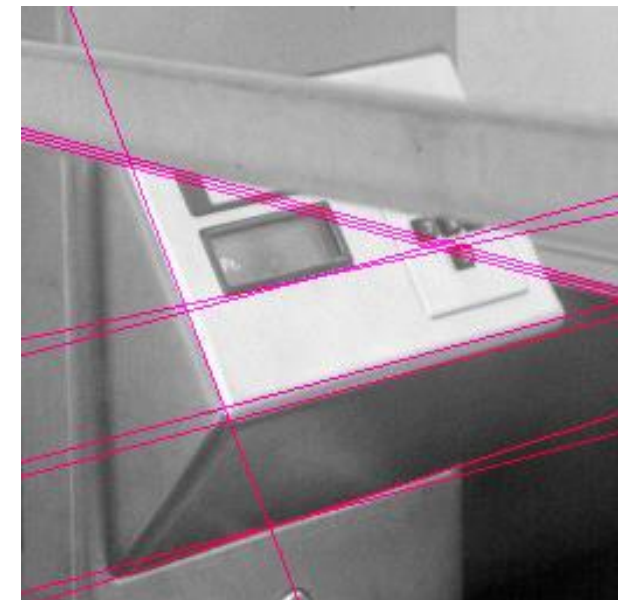
Original



Contours



Espace paramètre



Lignes de Hough

Autres types de transformées de Hough

- Cercle (**`skimage.transform.hough_circle`**)



- Ellipse (**`skimage.transform.hough_ellipse`**)
- Plan et surface (3D)

Limitation de la transformée de Hough: Très lourd au point de vue computationnel

Original picture



Edge (white) and result (red)

